



AB 1571

SOLDI

SOLDI s.c. Robert Kłosek, Leszek Duda
ul. Bieżanowska 22
30-812 Kraków

Sprawozdanie nr 316/2020/OS/01

Sprawozdanie z badania natężenia pól elektromagnetycznych
wykonanych w środowisku

Miejsce wykonania badania:

(dane uzyskane od zlecniodawcy)

RTCN KOSZALIN GOŁOGÓRA

76-012 Gołogóra,
dz. nr 77/3, 77/4, 79/6, 82/4, 82/5,
83,80

pow. koszaliński

woj. zachodniopomorskie

Data wykonania sprawozdania:

22.12.2020 r.

Data zakończenia badania:

22.12.2020 r.

Zlecniodawca:

Emitel S.A.

ul. Klimczaka 1

02-797 Warszawa

Bez pisemnej zgody laboratorium, sprawozdanie nie może być powielane inaczej, jak tylko w całości.

1. Podstawa prawna

Badania wykonano zgodnie z obecnie występującymi aktami prawnymi:

- Ustawa z dnia 27 kwietnia 2001r. Prawo ochrony środowiska. (Tekst jednolity: Dz. U. 2020 poz. 1219 z zm.).
- Rozporządzenie Ministra Zdrowia z dnia 17 grudnia 2019r. w sprawie dopuszczalnych poziomów pól elektromagnetycznych w środowisku. (Dz. U. 2019 poz. 2448)
- Rozporządzenie Ministra Klimatu z dnia 17 lutego 2020r. w sprawie sposobów sprawdzania dotrzymania dopuszczalnych poziomów pól elektromagnetycznych w środowisku. (Dz. U. 2020 poz. 258)

2. Aparatura pomiarowa

Podczas badań użyto następującej aparatury pomiarowej:

Miernik	Sondy	Zakres częstotliwościowy	Zakres pomiarowy	Świadectwo wzorcowania	Ważne do
Narda NBM - 520 Nr B-0475	EF0392 nr D-0431	1,0 – 3 400MHz	1,0-973 V/m	LWiMP/W/259/20; data wydania: 23.09.2020	23.09.2022r.
Narda NBM - 550 Nr E-0201	EF6092 nr C-0088	100 – 60 000MHz	1,0-356 V/m	LWiMP/W/069/19; data wydania: 20.02.2019	20.02.2021r.

Aparaturę pomiarową charakteryzują następujące wartości niepewności pomiaru obliczone i przedstawiona zgodnie z dokumentem EA 4/16. Podane wartości niepewności stanowią niepewności rozszerzone dla poziomu ufności 95% i współczynnika rozszerzenia $k=2$

Niepewność pomiarowa wyznaczona dla zainstalowanych i skonfigurowanych obiektów – źródeł pól, jak w dniu pomiaru wynosi 28%.

Dodatkowa aparatura pomiarowa:

- Kompas (busola)
- Cyfrowy miernik wilgotności względnej i temperatury powietrza AZ8703 nr S/N:9614083 (Świadectwo Wzorcowania: 1388/AH/15; data wydania: 14.08.2015)
- Taśma Miernicza Geodezyjna 50 m (Świadectwo Wzorcowania: 1429.01-M11-4180-515/15; data wydania: 27.04.2015)
- Odbiornik GPS HUAWEI P20

3. Współpraca z klientem

Działanie Laboratorium służy zawsze rozwiązywaniu problemów i spełnianiu wymagań klienta.

Laboratorium zobowiązuje się do przestrzegania warunków określonych przez klienta, dotyczących bezstronności i poufności badań a także ochrony jego praw, jeżeli nie jest to sprzeczne z obowiązującym prawem.

Klient ma możliwość złożenia skargi w terminie 14 dni, licząc od daty przyjęcia sprawozdania.

4. Opis pomiarów:

Badanie przeprowadziło Laboratorium Badawcze Soldi na podstawie zlecenia firmy Emitel S.A.

Badanie wykonano zgodnie z:

Załącznik do Rozporządzenia Ministra Klimatu z dnia 17 lutego 2020 r. w sprawie sposobów sprawdzania dotrzymania dopuszczalnych poziomów pól elektromagnetycznych w środowisku. (Dz. U. 2020 poz. 258)

Badania promieniowania elektromagnetycznego, którego źródłem są urządzenia wyszczególnione w pkt. 5 przeprowadzono w pionach pomiarowych w szczególności w tych miejscach, w których na podstawie uprzednio przeprowadzonych obliczeń, stwierdzono występowanie w danych zakresach częstotliwości pól elektromagnetycznych o najwyższych spodziewanych poziomach. Badania pól elektromagnetycznych przeprowadzono w pionach pomiarowych wzdłuż głównych kierunków pomiarowych oraz dodatkowych pionach pomiarowych na terenach przeznaczonych pod zabudowę mieszkaniową oraz w miejscach dostępnych dla ludności w otoczeniu instalacji.

Za wynik badania wpisany w Tabeli nr 2 kolumnie 4 niniejszego sprawozdania, uznaje się wartość wyznaczoną jako iloczyn maksymalnego chwilowego wyniku pomiaru i poprawki pomiarowej, powiększoną o rozszerzoną niepewność pomiaru U dla współczynnika rozszerzenia $k=2$.

5. Informacje ogólne

Tabela Nr 1 – Informacje o zleceniu

Tabela Nr 2 – Informacje o obiekcie

Tabela Nr 3 – Dane techniczne źródła pól

Tabela Nr 1

ZLECENIE	
Zleceniodawca pomiarów:	Emitel S.A. z siedzibą w Warszawie przy ul. F. Klimczaka 1
Zlecenie:	Zamówienie nr 27033 z dnia 28.10.2020 roku
Osoba udzielająca informacji do sprawozdania:	Przedstawiciel zleceniodawcy Pani Marta Głuch - Koordynator wiodący

Tabela Nr 2*

OBIEKT	
Właściciel:	Emitel S.A.
Nazwa:	RTCN KOSZALIN GOŁOGÓRA
Rodzaj instalacji:	Radiowo – Telewizyjne Centrum Nadawcze
Adres:	76-012 Gologóra, dz. nr 77/3, 77/4, 79/6, 82/4, 82/5,83, 80
Współrzędne geograficzne:	54°00'15.0"N 16°44'27.0"E
Charakterystyka otoczenia:	Stacja bazowa zlokalizowana jest na terenie wiejskim. W najbliższym otoczeniu stacji znajdują się tereny leśne i zabudowa mieszkaniowa.
Wysokość posadowienia wieży:	205,0 m n.p.m.
Wysokość wieży:	270,0 m n.p.t.

*Dane uzyskane od zleceniodawcy

Tabela Nr 3*

URZĄDZENIA EMITEL					
		1	2	3	4
Urządzenie Obciążenie (antena)	Nr źródła				
	Użytkownik	Emitel S.A.	Emitel S.A.	Emitel S.A.	Emitel S.A.
	Typ nadajnika	Linia radiowa	Linia radiowa	Linia radiowa	Linia radiowa
	Częstotliwość znamionowa	Brak danych	Brak danych	13 GHz	13 GHz
	Moc wyjściowa rzeczywista	Brak danych	Brak danych	Brak danych	Brak danych
	Wysokość zainstalowania [m n.p.t.]	80,0	135,0	148,0	150,0
	Typ anteny	IPAX 12-65	UKY23042/04H	VHLP2-13-NC3	VHLP4-13S-NC3C
	Konfiguracja	1 x 1	1 x 1	1 x 1	1 x 1
	Moc promieniowania (ERP)	Brak danych	Brak danych	Brak danych	Brak danych
	Charakterystyka promieniowania	Kierunkowa	Kierunkowa	Kierunkowa	Kierunkowa
	Azymut [°]	83,0 Kier. Wojsk	20,6 Kier. OOM Kępcice, ul. Kwiatowa 8	45 Kier. OM Trzebielino	46,9 Kier. OM Galismak / Jezierze
	Producent	Brak danych	Ericsson	Andrew Corp.	Andrew Corp.

*Dane uzyskane od zleceniodawcy

Tabela Nr 3 c.d.*

URZĄDZENIA EMITEL			
Urządzenie Obciążenie (antena)	Nr źródła	5	6
	Użytkownik	Emitel S.A.	Emitel S.A.
	Typ nadajnika	Linia radiowa	Linia radiowa
	Częstotliwość znamionowa	38 GHz	Brak danych
	Moc wyjściowa rzeczywista	Brak danych	Brak danych
	Wysokość zainstalowania [m n.p.t.]	70,0	90,0
	Typ anteny	VHLP1-38	VHLP4-13S-NC3
	Konfiguracja	1 x 1	1 x 1
	Moc promieniowania (EiRP)	268,9 W	3715 W
	Charakterystyka promieniowania	Kierunkowa	Kierunkowa
	Azymut [°]	320	184,3
	Producent	Brak danych	Brak danych

Tabela Nr 3 c.d.*

URZĄDZENIA EMITEL – RADIODYFUZJA					
Urządzenie Obciążenie (antena)	Nr źródła	7	8	9	10
	Użytkownik	RMF FM	Radio Koszalin	Radio ZET	Program 1 PR
	Typ nadajnika	NR 8212	2A10KV	EXC 3500 GX	2K10
	Częstotliwość znamionowa	89,3 MHz	103,1 MHz	105,3 MHz	107,9 MHz
	Moc wyjściowa rzeczywista	11 kW	6,37 kW	3,14 kW	6,07 kW
	Wysokość zainstalowania [m n.p.t.]	166,0	192,5	192,5	192,5
	Typ anteny	D II/06-Fe	D II/06-L-Fe	D II/06-L-Fe	D II/06-L-Fe
	Konfiguracja	4 x 3	8 x 3	8 x 3	8 x 3
	Moc promieniowania (ERP)	60,0 kW	60,0 kW	30,0 kW	60,0 kW
	Charakterystyka promieniowania	Kierunkowa	Kierunkowa	Kierunkowa	Kierunkowa
	Azymut [°]	21,5 / 141,5 / 261,5	21,5 / 141,5 / 261,5	21,5 / 141,5 / 261,5	21,5 / 141,5 / 261,5
	Producent	ELTI	ELTI	ELTI	ELTI
	Urządzenie Obciążenie (antena)	Nr źródła	11	12	13
Użytkownik		Program 3 PR	Program 2 PR	DVB-T MUX 8	DVB-T MUX 3
Typ nadajnika		2K10	2K10	DTV-M20/2R2P	THU9evo
Częstotliwość znamionowa		97,4 MHz	93,8 MHz	191,5 MHz	610 MHz
Moc wyjściowa rzeczywista		6,24 kW	6,43 kW	1,17 kW	2,9 kW
Wysokość zainstalowania [m n.p.t.]		192,5	192,5	214,0	230,0
Typ anteny		D II/06-L-Fe	D II/06-L-Fe	K 52 30 57	RD24A 578-704 M3S
Konfiguracja		8 x 3	8 x 3	10 x 4	1 x 24
Moc promieniowania (ERP)		60,0 kW	60,0 kW	15,0 kW	71,0 kW
Charakterystyka promieniowania		Kierunkowa	Kierunkowa	Kierunkowa	Kierunkowa
Azymut [°]	21,5 / 141,5 / 261,5	21,5 / 141,5 / 261,5	20 / 115 / 215 / 300	270	
Producent	ELTI	ELTI	Kathrein	Radio Frequency Systems	

Tabela Nr 3 c.d.*

URZĄDZENIA EMITEL – RADIODYFUZJA				
Urządzenie Obciążenie (antena)	Nr źródła	15	16	17
	Użytkownik	DVB-T MUX 3	DVB-T MUX 1	DVB-T MUX 2
	Typ nadajnika	THU9evo	THU9	TDV 3006
	Częstotliwość znamionowa	690 MHz	490 MHz	682 MHz
	Moc wyjściowa rzeczywista	3,8 kW	4,15 kW	3,63 kW
	Wysokość zainstalowania [m n.p.t.]	230,0	259,0	259,0
	Typ anteny	RD24A 578-704 M3S	AT 15-240	AT 15-240
	Konfiguracja	1 x 24	16 x 4	16 x 4
	Moc promieniowania (ERP)	100 kW	100 kW	100 kW
	Charakterystyka promieniowania	Kierunkowa	Dookólna	Dookólna
	Azymut [°]	80	-	-
	Producent	Radio Frequency Systems	RYMSA	RYMSA

Tabela Nr 3 c.d.*

URZĄDZENIA INNYCH OPERATORÓW					
Urządzenie Obciążenie (antena)	Nr źródła	18	19	20	21
	Użytkownik	Polkomtel Infrastruktura Sp. z o.o.	Polkomtel Infrastruktura Sp. z o.o.	P4 Sp. z o.o.	Orange Polska S.A. - PTK
	Typ nadajnika	Antena Sektorowa	Antena sektorowa	Antena dwupolaryzacyjna	Linia radiowa
	Częstotliwość znamionowa	Brak danych	Brak danych	23 GHz	23 GHz
	Moc wyjściowa rzeczywista	Brak danych	Brak danych	Brak danych	Brak danych
	Wysokość zainstalowania [m n.p.t.]	55,5	56,5	59,0	60,0
	Typ anteny	K80010306V02	K741516	VHLPX2-23-HW1A	VHLP2-23
	Konfiguracja	1 x 3	1 x 3	1 x 1	1 x 1
	Moc promieniowania (ERP)	Brak danych	Brak danych	Brak danych	Brak danych
	Charakterystyka promieniowania	Kierunkowa	Kierunkowa	Kierunkowa	Kierunkowa
	Azymut [°]	70 / 170 / 265	0 / 120 / 240	346	244
	Producent	Katherin	Katherin	Andrew Corp.	Andrew Corp.

URZĄDZENIA INNYCH OPERATORÓW					
Urządzenie Obciążenie (antena)	Nr źródła	22	23	24	25
	Użytkownik	P4 Sp. z o.o.	P4 Sp. z o.o.	Orange Polska S.A. - PTK	Orange Polska S.A. - PTK
	Typ nadajnika	Antena sektorowa	Linia radiowa	Antena Sektorowa	Linia radiowa
	Częstotliwość znamionowa	Brak danych	Brak danych	Brak danych	Brak danych
	Moc wyjściowa rzeczywista	Brak danych	Brak danych	Brak danych	Brak danych
	Wysokość zainstalowania [m n.p.t.]	60,0	60,0	65,0	66,8
	Typ anteny	AQU4518R24	Brak danych	80010817	VHLP2-23
	Konfiguracja	1 x 3	1 x 1	1 x 3	1 x 1
	Moc promieniowania (ERP)	Brak danych	Brak danych	Brak danych	Brak danych
	Charakterystyka promieniowania	Kierunkowa	Kierunkowa	Kierunkowa	Kierunkowa
	Azymut [°]	0 / 120 / 240	289	30 / 170 / 290	244
	Producent	Huawei Technologies Co., Ltd.	Brak danych	Kathrein	Andrew Corp.
Urządzenie Obciążenie (antena)	Nr źródła	26	27	28	
	Użytkownik	Orange Polska S.A. - PTK	Orange Polska S.A. - PTK	Polkomtel Infrastruktura Sp. z o.o.	
	Typ nadajnika	Linia radiowa	Linia radiowa	Linia radiowa	
	Częstotliwość znamionowa	Brak danych	Brak danych	Brak danych	
	Moc wyjściowa rzeczywista	Brak danych	Brak danych	Brak danych	
	Wysokość zainstalowania [m n.p.t.]	77,0	128,5	130,6	
	Typ anteny	VHLP2-13	Brak danych	RLA13-12	
	Konfiguracja	1 x 1	1 x 1	1 x 1	
	Moc promieniowania (ERP)	Brak danych	Brak danych	Brak danych	
	Charakterystyka promieniowania	Kierunkowa	Kierunkowa	Kierunkowa	
	Azymut [°]	66	342	254	
	Producent	Andrew Corp.	Andrew Corp.	Brak danych	

*Dane uzyskane od zleceniodawcy

W załączonej tabeli podano maksymalne parametry pracy tej instalacji deklarowane przez prowadzącego instalację.

Przy sprawdzaniu dotrzymania dopuszczalnych poziomów pól elektromagnetycznych w środowisku uwzględnia się poprawkę pomiarową o wartości 1,7 umożliwiającą uwzględnienie maksymalnych parametrów pracy instalacji. Ze względu na fakt, że pomiary wykonywane są przy użyciu miernika szerokopasmowego, wartość poprawki pomiarowej nie odnosi się oddzielnie ani do poszczególnych systemów i zakresów częstotliwości, ani do obecności innych instalacji emitujących pole – EM w sąsiedztwie lecz uwzględnia wszystkie te czynniki łącznie.

Jako dopuszczalne poziomy gęstości pola elektromagnetycznego przyjmuje się wartość 2W/m^2 , co odpowiada natężeniu składowej elektrycznej pola elektromagnetycznego o wartości 28 V/m – tj. minimalnej wartości dopuszczalnej dla zakresu częstotliwości od 10 MHz do 300 GHz.

W obligatoryjnym obszarze pomiarowym zainstalowane są urządzenia obcych operatorów, dla których szczegółowe parametry pracy nie zostały udostępnione.

6. Wyniki badań i szkic sytuacyjny

Data badania (ń) wykonanych w terenie	Godzina pomiarów hh:mm		Temperatura		Wilgotność		Opady atmosferyczne
	początek	koniec	min	max	min	max	
03.12.2020r.	07:00	15:00	2°C	4°C	64%	68%	brak

Temperatura i wilgotność względna nie wyższa niż dopuszczalna specyfikacja miernika.

Tabela nr 2

Nr pionu/ punktu	Lokalizacja pionu/ punktu pomiarowego	Współrzędne geograficzne	Wynik badania pola-E ¹⁾	Wartość obliczona pola-M	Wskaźnik poziomu emisji WM _E	Wskaźnik poziomu emisji WM _H	Wysokość pomiaru
			[V/m]	[A/m]			[m]
1	2	3	4	5	6	7	8
1	GKP; poziom terenu wokół stacji bazowej	54° 0'20.5"N 16°44'18.0"E	2,7	0,007	<0,1	<0,1	2,0
2	GKP; poziom terenu wokół stacji bazowej	54° 0'20.5"N 16°44'18.0"E	2,6	0,007	<0,1	<0,1	2,0
3	GKP; poziom terenu wokół stacji bazowej	54° 0'26.0"N 16°44'18.0"E	2,3	0,006	<0,1	<0,1	2,0
4	GKP; poziom terenu wokół stacji bazowej	54° 0'26.5"N 16°44'18.0"E	2,3	0,006	<0,1	<0,1	2,0
5	GKP; poziom terenu wokół stacji bazowej – 565m od obiektu, na azymucie 0°	54° 0'32.0"N 16°44'18.0"E	<1,0	<0,003	<0,1	<0,1	0,3 - 2
6	GKP; poziom terenu wokół stacji bazowej – 600m od obiektu, na azymucie 0°	54° 0'33.5"N 16°44'18.0"E	<1,0	<0,003	<0,1	<0,1	0,3 - 2
7	GKP; poziom terenu wokół stacji bazowej – 1m od ogrodzenia	54° 0'15.0"N 16°44'18.5"E	2,3	0,006	<0,1	<0,1	2,0
8	GKP; poziom terenu wokół stacji bazowej	54° 0'15.5"N 16°44'19.0"E	2,4	0,006	<0,1	<0,1	2,0
9	GKP; poziom terenu wokół stacji bazowej	54° 0'16.5"N 16°44'19.5"E	2,6	0,007	<0,1	<0,1	2,0
10	GKP; poziom terenu wokół stacji bazowej	54° 0'17.0"N 16°44'20.0"E	2,6	0,007	<0,1	<0,1	2,0
11	GKP; poziom terenu wokół stacji bazowej	54° 0'18.0"N 16°44'20.5"E	2,6	0,007	<0,1	<0,1	2,0
12	GKP; poziom terenu wokół stacji bazowej	54° 0'18.5"N 16°44'21.0"E	2,7	0,007	<0,1	<0,1	2,0
13	GKP; poziom terenu wokół stacji bazowej	54° 0'19.0"N 16°44'21.5"E	2,7	0,007	<0,1	<0,1	2,0
14	GKP; poziom terenu wokół stacji bazowej	54° 0'19.5"N 16°44'21.5"E	2,7	0,007	<0,1	<0,1	2,0
15	GKP; poziom terenu wokół stacji bazowej	54° 0'20.0"N 16°44'22.0"E	2,6	0,007	<0,1	<0,1	2,0
16	GKP; poziom terenu wokół stacji bazowej	54° 0'20.0"N 16°44'22.0"E	2,7	0,007	<0,1	<0,1	2,0
17	GKP; poziom terenu wokół stacji bazowej	54° 0'21.0"N 16°44'22.5"E	3,0	0,008	0,1	0,1	2,0
18	GKP; poziom terenu wokół stacji bazowej	54° 0'21.5"N 16°44'23.0"E	3,0	0,008	0,1	0,1	2,0

¹⁾ Za wynik badania przyjmuje się wartość wyznaczoną jako iloczyn maksymalnego chwilowego wyniku pomiarów i poprawki pomiarowej, powiększoną o rozszerzoną niepewność pomiaru U dla współczynnika rozszerzenia k=2

Objaśnienia:

GKP – Główny Kierunek Pomiarowy

<1,0 – poniżej zakresu pomiarowego sondy EF-6092, EF-0392 tj. 1,0 V/m

Tabela nr 2 c.d.

Nr pionu/ punktu	Lokalizacja pionu/ punktu pomiarowego	Współrzędne geograficzne	Wynik badania pola-E ¹⁾	Wartość obliczona pola-M	Wskaźnik poziomu emisji WM _E	Wskaźnik poziomu emisji WM _H	Wysokość pomiaru
			[V/m]	[A/m]			[m]
1	2	3	4	5	6	7	8
19	GKP; poziom terenu wokół stacji bazowej	54° 0'22.5"N 16°44'23.5"E	3,2	0,008	0,1	0,1	2,0
20	GKP; poziom terenu wokół stacji bazowej	54° 0'23.0"N 16°44'24.0"E	2,6	0,007	<0,1	<0,1	2,0
21	GKP; poziom terenu wokół stacji bazowej	54° 0'23.5"N 16°44'23.5"E	2,3	0,006	<0,1	<0,1	2,0
22	GKP; poziom terenu wokół stacji bazowej	54° 0'24.0"N 16°44'24.0"E	2,3	0,006	<0,1	<0,1	2,0
23	GKP; poziom terenu wokół stacji bazowej	54° 0'24.5"N 16°44'24.5"E	2,3	0,006	<0,1	<0,1	2,0
24	GKP; poziom terenu wokół stacji bazowej	54° 0'25.5"N 16°44'25.0"E	2,3	0,006	<0,1	<0,1	2,0
25	GKP; poziom terenu wokół stacji bazowej	54° 0'26.0"N 16°44'25.0"E	2,4	0,006	<0,1	<0,1	2,0
26	GKP; poziom terenu wokół stacji bazowej	54° 0'26.5"N 16°44'25.5"E	2,6	0,007	<0,1	<0,1	2,0
27	GKP; poziom terenu wokół stacji bazowej – 435m od obiektu, na azymucie 20°	54° 0'27.0"N 16°44'26.5"E	2,6	0,007	<0,1	<0,1	2,0
28	GKP; poziom terenu wokół stacji bazowej – 455m od obiektu, na azymucie 20°	54° 0'27.5"N 16°44'27.0"E	2,4	0,006	<0,1	<0,1	2,0
29	GKP; poziom terenu wokół stacji bazowej – 475m od obiektu, na azymucie 20°	54° 0'28.5"N 16°44'27.0"E	2,3	0,006	<0,1	<0,1	2,0
30	GKP; poziom terenu wokół stacji bazowej – 495m od obiektu, na azymucie 20°	54° 0'29.0"N 16°44'27.5"E	2,3	0,006	<0,1	<0,1	2,0
31	GKP; poziom terenu wokół stacji bazowej – 515m od obiektu, na azymucie 20°	54° 0'29.5"N 16°44'28.0"E	<1,0	<0,003	<0,1	<0,1	0,3 - 2
32	GKP; poziom terenu wokół stacji bazowej – 535m od obiektu, na azymucie 20°	54° 0'30.0"N 16°44'28.5"E	<1,0	<0,003	<0,1	<0,1	0,3 - 2
33	GKP; poziom terenu wokół stacji bazowej – 555m od obiektu, na azymucie 20°	54° 0'30.5"N 16°44'28.5"E	<1,0	<0,003	<0,1	<0,1	0,3 - 2
34	GKP; poziom terenu wokół stacji bazowej – 575m od obiektu, na azymucie 20°	54° 0'31.5"N 16°44'29.0"E	<1,0	<0,003	<0,1	<0,1	0,3 - 2
35	GKP; poziom terenu wokół stacji bazowej – 595m od obiektu, na azymucie 20°	54° 0'32.0"N 16°44'29.5"E	<1,0	<0,003	<0,1	<0,1	0,3 - 2
36	GKP; poziom terenu wokół stacji bazowej – 615m od obiektu, na azymucie 20°	54° 0'32.5"N 16°44'30.0"E	<1,0	<0,003	<0,1	<0,1	0,3 - 2
37	GKP; poziom terenu wokół stacji bazowej – 635m od obiektu, na azymucie 20°	54° 0'33.0"N 16°44'30.5"E	<1,0	<0,003	<0,1	<0,1	0,3 - 2

¹⁾ Za wynik badania przyjmuje się wartość wyznaczoną jako iloczyn maksymalnego chwilowego wyniku pomiarów i poprawki pomiarowej, powiększoną o rozszerzoną niepewność pomiaru U dla współczynnika rozszerzenia k=2

Objaśnienia:

GKP – Główny Kierunek Pomiarowy

<1,0 – poniżej zakresu pomiarowego sondy EF-6092, EF-0392 tj. 1,0 V/m

Tabela nr 2 c.d.

Nr pionu/ punktu	Lokalizacja pionu/ punktu pomiarowego	Współrzędne geograficzne	Wynik badania pola-E ¹⁾	Wartość obliczona pola-M	Wskaźnik poziomu emisji WM _E	Wskaźnik poziomu emisji WM _H	Wysokość pomiaru
			[V/m]	[A/m]			[m]
1	2	3	4	5	6	7	8
38	GKP; poziom terenu wokół stacji bazowej – 655m od obiektu, na azymucie 20°	54° 0'33.5"N 16°44'30.5"E	<1,0	<0,003	<0,1	<0,1	0,3 - 2
39	GKP; poziom terenu wokół stacji bazowej – 675m od obiektu, na azymucie 20°	54° 0'34.5"N 16°44'31.0"E	<1,0	<0,003	<0,1	<0,1	0,3 - 2
40	GKP; poziom terenu wokół stacji bazowej	54° 0'23.0"N 16°44'24.0"E	2,6	0,007	<0,1	<0,1	2,0
41	GKP; poziom terenu wokół stacji bazowej	54° 0'23.5"N 16°44'24.0"E	2,4	0,006	<0,1	<0,1	2,0
42	GKP; poziom terenu wokół stacji bazowej	54° 0'24.5"N 16°44'24.5"E	2,3	0,006	<0,1	<0,1	2,0
43	GKP; poziom terenu wokół stacji bazowej	54° 0'24.5"N 16°44'25.0"E	2,3	0,006	<0,1	<0,1	2,0
44	GKP; poziom terenu wokół stacji bazowej	54° 0'25.5"N 16°44'25.5"E	2,4	0,006	<0,1	<0,1	2,0
45	GKP; poziom terenu wokół stacji bazowej	54° 0'26.0"N 16°44'25.5"E	2,4	0,006	<0,1	<0,1	2,0
46	GKP; poziom terenu wokół stacji bazowej	54° 0'26.5"N 16°44'26.0"E	2,3	0,006	<0,1	<0,1	2,0
47	GKP; poziom terenu wokół stacji bazowej	54° 0'27.0"N 16°44'27.0"E	2,3	0,006	<0,1	<0,1	2,0
48	GKP; poziom terenu wokół stacji bazowej – 495m od obiektu, na azymucie 22°	54° 0'28.0"N 16°44'28.0"E	<1,0	<0,003	<0,1	<0,1	0,3 - 2
49	GKP; poziom terenu wokół stacji bazowej – 515m od obiektu, na azymucie 22°	54° 0'29.5"N 16°44'29.0"E	<1,0	<0,003	<0,1	<0,1	0,3 - 2
50	GKP; poziom terenu wokół stacji bazowej – 535m od obiektu, na azymucie 22°	54° 0'30.0"N 16°44'29.0"E	<1,0	<0,003	<0,1	<0,1	0,3 - 2
51	GKP; poziom terenu wokół stacji bazowej – 555m od obiektu, na azymucie 22°	54° 0'30.5"N 16°44'29.5"E	<1,0	<0,003	<0,1	<0,1	0,3 - 2
52	GKP; poziom terenu wokół stacji bazowej – 575m od obiektu, na azymucie 22°	54° 0'31.0"N 16°44'30.0"E	<1,0	<0,003	<0,1	<0,1	0,3 - 2
53	GKP; poziom terenu wokół stacji bazowej – 595m od obiektu, na azymucie 22°	54° 0'31.5"N 16°44'30.5"E	<1,0	<0,003	<0,1	<0,1	0,3 - 2
54	GKP; poziom terenu wokół stacji bazowej – 615m od obiektu, na azymucie 22°	54° 0'32.5"N 16°44'30.5"E	<1,0	<0,003	<0,1	<0,1	0,3 - 2
55	GKP; poziom terenu wokół stacji bazowej – 635m od obiektu, na azymucie 22°	54° 0'33.0"N 16°44'31.0"E	<1,0	<0,003	<0,1	<0,1	0,3 - 2
56	GKP; poziom terenu wokół stacji bazowej – 655m od obiektu, na azymucie 22°	54° 0'33.5"N 16°44'31.5"E	<1,0	<0,003	<0,1	<0,1	0,3 - 2
57	GKP; poziom terenu wokół stacji bazowej – 675m od obiektu, na azymucie 22°	54° 0'34.0"N 16°44'32.0"E	<1,0	<0,003	<0,1	<0,1	0,3 - 2

¹⁾ Za wynik badania przyjmuje się wartość wyznaczoną jako iloczyn maksymalnego chwilowego wyniku pomiarów i poprawki pomiarowej, powiększoną o rozszerzoną niepewność pomiaru U dla współczynnika rozszerzenia k=2

Objaśnienia:

GKP – Główny Kierunek Pomiarowy

<1,0 – poniżej zakresu pomiarowego sondy EF-6092, EF-0392 tj. 1,0 V/m

Tabela nr 2 c.d.

Nr pionu/ punktu	Lokalizacja pionu/ punktu pomiarowego	Współrzędne geograficzne	Wynik badania pola-E ¹⁾	Wartość obliczona pola-M	Wskaźnik poziomu emisji WM _E	Wskaźnik poziomu emisji WM _H	Wysokość pomiaru
			[V/m]	[A/m]			[m]
1	2	3	4	5	6	7	8
58	GKP; poziom terenu wokół stacji bazowej	54° 0'20.0"N 16°44'23.5"E	2,7	0,007	<0,1	<0,1	2,0
59	GKP; poziom terenu wokół stacji bazowej	54° 0'26.5"N 16°44'30.0"E	2,4	0,006	<0,1	<0,1	2,0
60	GKP; poziom terenu wokół stacji bazowej – 650m od obiektu, na azymucie 30°	54° 0'32.0"N 16°44'35.5"E	<1,0	<0,003	<0,1	<0,1	0,3 - 2
61	GKP; poziom terenu wokół stacji bazowej	54° 0'14.5"N 16°44'19.0"E	2,3	0,006	<0,1	<0,1	2,0
62	GKP; poziom terenu wokół stacji bazowej	54° 0'14.5"N 16°44'19.5"E	2,4	0,006	<0,1	<0,1	2,0
63	GKP; poziom terenu wokół stacji bazowej	54° 0'15.0"N 16°44'20.0"E	2,7	0,007	<0,1	<0,1	2,0
64	GKP; poziom terenu wokół stacji bazowej	54° 0'15.0"N 16°44'20.5"E	2,7	0,007	<0,1	<0,1	2,0
65	GKP; poziom terenu wokół stacji bazowej	54° 0'15.5"N 16°44'21.5"E	3,0	0,008	0,1	0,1	2,0
66	PKP; poziom terenu wokół stacji bazowej	54° 0'15.0"N 16°44'20.5"E	2,7	0,007	<0,1	<0,1	2,0
67	PKP; poziom terenu wokół stacji bazowej	54° 0'15.5"N 16°44'21.0"E	3,0	0,008	0,1	0,1	2,0
68	PKP; poziom terenu wokół stacji bazowej	54° 0'16.0"N 16°44'22.0"E	3,0	0,008	0,1	0,1	2,0
69	PKP; poziom terenu wokół stacji bazowej	54° 0'16.5"N 16°44'23.0"E	3,2	0,008	0,1	0,1	2,0
70	PKP; poziom terenu wokół stacji bazowej	54° 0'17.0"N 16°44'24.0"E	3,0	0,008	0,1	0,1	2,0
71	PKP; poziom terenu wokół stacji bazowej	54° 0'17.5"N 16°44'25.0"E	3,0	0,008	0,1	0,1	2,0
72	PKP; poziom terenu wokół stacji bazowej	54° 0'18.0"N 16°44'26.0"E	2,6	0,007	<0,1	<0,1	2,0
73	PKP; poziom terenu wokół stacji bazowej	54° 0'18.5"N 16°44'27.0"E	2,6	0,007	<0,1	<0,1	2,0
74	PKP; poziom terenu wokół stacji bazowej	54° 0'19.0"N 16°44'27.5"E	2,4	0,006	<0,1	<0,1	2,0
75	PKP; poziom terenu wokół stacji bazowej	54° 0'19.5"N 16°44'29.0"E	2,4	0,006	<0,1	<0,1	2,0
76	PKP; poziom terenu wokół stacji bazowej	54° 0'19.5"N 16°44'29.5"E	2,4	0,006	<0,1	<0,1	2,0
77	PKP; poziom terenu wokół stacji bazowej	54° 0'20.0"N 16°44'30.5"E	2,3	0,006	<0,1	<0,1	2,0
78	PKP; poziom terenu wokół stacji bazowej	54° 0'20.5"N 16°44'31.5"E	2,3	0,006	<0,1	<0,1	2,0
79	PKP; poziom terenu wokół stacji bazowej	54° 0'21.0"N 16°44'32.0"E	2,3	0,006	<0,1	<0,1	2,0
80	PKP; poziom terenu wokół stacji bazowej	54° 0'21.5"N 16°44'33.0"E	2,4	0,006	<0,1	<0,1	2,0
81	PKP; poziom terenu wokół stacji bazowej	54° 0'22.0"N 16°44'33.5"E	2,6	0,007	<0,1	<0,1	2,0
82	PKP; poziom terenu wokół stacji bazowej	54° 0'22.5"N 16°44'34.0"E	2,6	0,007	<0,1	<0,1	2,0

¹⁾ Za wynik badania przyjmuje się wartość wyznaczoną jako iloczyn maksymalnego chwilowego wyniku pomiarów i poprawki pomiarowej, powiększoną o rozszerzoną niepewność pomiaru U dla współczynnika rozszerzenia k=2

Objaśnienia:

GKP – Główny Kierunek Pomiarowy

PKP – Pomocniczy Kierunek Pomiarowy

<1,0 – poniżej zakresu pomiarowego sondy EF-6092, EF-0392 tj. 1,0 V/m

Tabela nr 2 c.d.

Nr pionu/ punktu	Lokalizacja pionu/ punktu pomiarowego	Współrzędne geograficzne	Wynik badania pola-E ¹⁾	Wartość obliczona pola-M	Wskaźnik poziomu emisji WM _E	Wskaźnik poziomu emisji WM _H	Wysokość pomiaru
			[V/m]	[A/m]			[m]
1	2	3	4	5	6	7	8
83	PKP; poziom terenu wokół stacji bazowej	54° 0'22.5"N 16°44'35.0"E	2,3	0,006	<0,1	<0,1	2,0
84	PKP; poziom terenu wokół stacji bazowej	54° 0'23.0"N 16°44'36.0"E	2,3	0,006	<0,1	<0,1	2,0
85	PKP; poziom terenu wokół stacji bazowej	54° 0'23.5"N 16°44'37.0"E	<1,0	<0,003	<0,1	<0,1	0,3 - 2
86	PKP; poziom terenu wokół stacji bazowej	54° 0'24.0"N 16°44'38.0"E	<1,0	<0,003	<0,1	<0,1	0,3 - 2
87	PKP; poziom terenu wokół stacji bazowej	54° 0'24.5"N 16°44'39.0"E	<1,0	<0,003	<0,1	<0,1	0,3 - 2
88	PKP; poziom terenu wokół stacji bazowej	54° 0'25.0"N 16°44'40.0"E	<1,0	<0,003	<0,1	<0,1	0,3 - 2
89	PKP; poziom terenu wokół stacji bazowej	54° 0'25.5"N 16°44'41.0"E	<1,0	<0,003	<0,1	<0,1	0,3 - 2
90	PKP; poziom terenu wokół stacji bazowej	54° 0'26.0"N 16°44'42.5"E	<1,0	<0,003	<0,1	<0,1	0,3 - 2
91	PKP; poziom terenu wokół stacji bazowej	54° 0'26.5"N 16°44'43.5"E	<1,0	<0,003	<0,1	<0,1	0,3 - 2
92	PKP; poziom terenu wokół stacji bazowej	54° 0'26.5"N 16°44'44.0"E	<1,0	<0,003	<0,1	<0,1	0,3 - 2
93	PKP; poziom terenu wokół stacji bazowej	54° 0'27.0"N 16°44'45.0"E	<1,0	<0,003	<0,1	<0,1	0,3 - 2
94	PKP; poziom terenu wokół stacji bazowej	54° 0'27.5"N 16°44'45.5"E	<1,0	<0,003	<0,1	<0,1	0,3 - 2
95	PKP; poziom terenu wokół stacji bazowej – 655m od obiektu, na azymucie 50°	54° 0'27.5"N 16°44'46.0"E	<1,0	<0,003	<0,1	<0,1	0,3 - 2
96	PKP; poziom terenu wokół stacji bazowej – 675m od obiektu, na azymucie 50°	54° 0'28.0"N 16°44'46.5"E	<1,0	<0,003	<0,1	<0,1	0,3 - 2
97	GKP; poziom terenu wokół stacji bazowej	54° 0'14.0"N 16°44'20.0"E	2,7	0,007	<0,1	<0,1	2,0
98	GKP; poziom terenu wokół stacji bazowej	54° 0'15.0"N 16°44'22.0"E	3,0	0,008	0,1	0,1	2,0
99	GKP; poziom terenu wokół stacji bazowej	54° 0'15.5"N 16°44'23.5"E	3,0	0,008	0,1	0,1	2,0
100	GKP; poziom terenu wokół stacji bazowej	54° 0'16.0"N 16°44'28.0"E	3,0	0,008	0,1	0,1	2,0
101	GKP; poziom terenu wokół stacji bazowej	54° 0'17.0"N 16°44'32.0"E	2,7	0,007	<0,1	<0,1	2,0
102	GKP; poziom terenu wokół stacji bazowej	54° 0'20.5"N 16°44'46.0"E	<1,0	<0,003	<0,1	<0,1	0,3 - 2
103	GKP; poziom terenu wokół stacji bazowej	54° 0'14.0"N 16°44'19.0"E	2,4	0,006	<0,1	<0,1	2,0
104	GKP; poziom terenu wokół stacji bazowej	54° 0'14.0"N 16°44'20.5"E	2,7	0,007	<0,1	<0,1	2,0
105	GKP; poziom terenu wokół stacji bazowej	54° 0'14.0"N 16°44'21.0"E	2,7	0,007	<0,1	<0,1	2,0
106	GKP; poziom terenu wokół stacji bazowej	54° 0'14.5"N 16°44'22.0"E	3,0	0,008	0,1	0,1	2,0

¹⁾ Za wynik badania przyjmuje się wartość wyznaczoną jako iloczyn maksymalnego chwilowego wyniku pomiarów i poprawki pomiarowej, powiększoną o rozszerzoną niepewność pomiaru U dla współczynnika rozszerzenia k=2

Objaśnienia:

GKP – Główny Kierunek Pomiarowy

PKP – Pomocniczy Kierunek Pomiarowy

<1,0 – poniżej zakresu pomiarowego sondy EF-6092, EF-0392 tj. 1,0 V/m

Tabela nr 2 c.d.

Nr pionu/ punktu	Lokalizacja pionu/ punktu pomiarowego	Współrzędne geograficzne	Wynik badania pola-E ^{*)}	Wartość obliczona pola-M	Wskaźnik poziomu emisji WM _E	Wskaźnik poziomu emisji WM _H	Wysokość pomiaru
			[V/m]	[A/m]			[m]
1	2	3	4	5	6	7	8
107	GKP; poziom terenu wokół stacji bazowej	54° 0'14.5"N 16°44'23.0"E	3,0	0,008	0,1	0,1	2,0
108	GKP; poziom terenu wokół stacji bazowej	54° 0'14.5"N 16°44'24.5"E	3,0	0,008	0,1	0,1	2,0
109	GKP; poziom terenu wokół stacji bazowej	54° 0'14.5"N 16°44'26.0"E	3,0	0,008	0,1	0,1	2,0
110	GKP; poziom terenu wokół stacji bazowej	54° 0'15.0"N 16°44'27.0"E	3,2	0,008	0,1	0,1	2,0
111	GKP; poziom terenu wokół stacji bazowej	54° 0'15.0"N 16°44'28.0"E	3,0	0,008	0,1	0,1	2,0
112	GKP; poziom terenu wokół stacji bazowej	54° 0'15.0"N 16°44'29.5"E	3,0	0,008	0,1	0,1	2,0
113	GKP; poziom terenu wokół stacji bazowej	54° 0'15.5"N 16°44'30.0"E	3,0	0,008	0,1	0,1	2,0
114	GKP; poziom terenu wokół stacji bazowej	54° 0'16.0"N 16°44'36.5"E	2,7	0,007	<0,1	<0,1	2,0
115	GKP; poziom terenu wokół stacji bazowej	54° 0'16.5"N 16°44'38.0"E	2,7	0,007	<0,1	<0,1	2,0
116	GKP; poziom terenu wokół stacji bazowej	54° 0'16.5"N 16°44'39.5"E	2,7	0,007	<0,1	<0,1	2,0
117	GKP; poziom terenu wokół stacji bazowej	54° 0'16.5"N 16°44'40.5"E	2,6	0,007	<0,1	<0,1	2,0
118	GKP; poziom terenu wokół stacji bazowej	54° 0'17.0"N 16°44'41.5"E	2,6	0,007	<0,1	<0,1	2,0
119	GKP; poziom terenu wokół stacji bazowej	54° 0'17.0"N 16°44'42.5"E	2,6	0,007	<0,1	<0,1	2,0
120	GKP; poziom terenu wokół stacji bazowej	54° 0'17.0"N 16°44'44.0"E	2,4	0,006	<0,1	<0,1	2,0
121	GKP; poziom terenu wokół stacji bazowej	54° 0'17.0"N 16°44'45.0"E	2,4	0,006	<0,1	<0,1	2,0
122	GKP; poziom terenu wokół stacji bazowej	54° 0'17.0"N 16°44'46.5"E	2,4	0,006	<0,1	<0,1	2,0
123	GKP; poziom terenu wokół stacji bazowej	54° 0'17.5"N 16°44'47.0"E	2,3	0,006	<0,1	<0,1	2,0
124	GKP; poziom terenu wokół stacji bazowej	54° 0'17.5"N 16°44'48.0"E	2,3	0,006	<0,1	<0,1	2,0
125	GKP; poziom terenu wokół stacji bazowej	54° 0'17.5"N 16°44'49.0"E	2,3	0,006	<0,1	<0,1	2,0
126	GKP; poziom terenu wokół stacji bazowej	54° 0'17.5"N 16°44'50.0"E	2,3	0,006	<0,1	<0,1	2,0
127	GKP; poziom terenu wokół stacji bazowej	54° 0'17.5"N 16°44'51.0"E	<1,0	<0,003	<0,1	<0,1	0,3 - 2
128	GKP; poziom terenu wokół stacji bazowej	54° 0'17.5"N 16°44'52.5"E	<1,0	<0,003	<0,1	<0,1	0,3 - 2
129	GKP; poziom terenu wokół stacji bazowej	54° 0'18.0"N 16°44'53.5"E	<1,0	<0,003	<0,1	<0,1	0,3 - 2
130	GKP; poziom terenu wokół stacji bazowej	54° 0'18.0"N 16°44'54.5"E	<1,0	<0,003	<0,1	<0,1	0,3 - 2

^{*)} Za wynik badania przyjmuje się wartość wyznaczoną jako iloczyn maksymalnego chwilowego wyniku pomiarów i poprawki pomiarowej, powiększoną o rozszerzoną niepewność pomiaru U dla współczynnika rozszerzenia k=2

Objaśnienia:

GKP – Główny Kierunek Pomiarowy

Tabela nr 2 c.d.

Nr pionu/ punktu	Lokalizacja pionu/ punktu pomiarowego	Współrzędne geograficzne	Wynik badania pola-E ¹⁾	Wartość obliczona pola-M	Wskaźnik poziomu emisji WM _E	Wskaźnik poziomu emisji WM _H	Wysokość pomiaru
			[V/m]	[A/m]			[m]
1	2	3	4	5	6	7	8
131	GKP; poziom terenu wokół stacji bazowej	54° 0'14.0"N 16°44'19.0"E	2,7	0,007	<0,1	<0,1	2,0
132	GKP; poziom terenu wokół stacji bazowej	54° 0'13.5"N 16°44'23.5"E	2,7	0,007	<0,1	<0,1	2,0
133	GKP; poziom terenu wokół stacji bazowej	54° 0'13.5"N 16°44'28.0"E	3,0	0,008	0,1	0,1	2,0
134	GKP; poziom terenu wokół stacji bazowej	54° 0'13.0"N 16°44'23.5"E	3,0	0,008	0,1	0,1	2,0
135	GKP; poziom terenu wokół stacji bazowej	54° 0'12.5"N 16°44'27.5"E	3,0	0,008	0,1	0,1	2,0
136	GKP; poziom terenu wokół stacji bazowej -1m od ogrodzenia	54° 0'13.5"N 16°44'19.5"E	2,7	0,007	<0,1	<0,1	2,0
137	GKP; poziom terenu wokół stacji bazowej	54° 0'13.0"N 16°44'20.5"E	2,7	0,007	<0,1	<0,1	2,0
138	GKP; poziom terenu wokół stacji bazowej	54° 0'13.0"N 16°44'21.5"E	2,7	0,007	<0,1	<0,1	2,0
139	GKP; poziom terenu wokół stacji bazowej	54° 0'12.5"N 16°44'22.5"E	2,7	0,007	<0,1	<0,1	2,0
140	GKP; poziom terenu wokół stacji bazowej	54° 0'12.5"N 16°44'23.5"E	3,0	0,008	0,1	0,1	2,0
141	GKP; poziom terenu wokół stacji bazowej	54° 0'12.5"N 16°44'24.5"E	2,7	0,007	<0,1	<0,1	2,0
142	GKP; poziom terenu wokół stacji bazowej	54° 0'12.0"N 16°44'25.5"E	3,0	0,008	0,1	0,1	2,0
143	GKP; poziom terenu wokół stacji bazowej	54° 0'11.5"N 16°44'26.5"E	3,0	0,008	0,1	0,1	2,0
144	GKP; poziom terenu wokół stacji bazowej	54° 0'11.5"N 16°44'27.5"E	3,0	0,008	0,1	0,1	2,0
145	GKP; poziom terenu wokół stacji bazowej	54° 0'11.0"N 16°44'28.5"E	2,7	0,007	<0,1	<0,1	2,0
146	GKP; poziom terenu wokół stacji bazowej	54° 0'11.0"N 16°44'29.5"E	2,6	0,007	<0,1	<0,1	2,0
147	GKP; poziom terenu wokół stacji bazowej	54° 0'10.5"N 16°44'30.5"E	2,6	0,007	<0,1	<0,1	2,0
148	GKP; poziom terenu wokół stacji bazowej	54° 0'10.5"N 16°44'31.5"E	2,6	0,007	<0,1	<0,1	2,0
149	GKP; poziom terenu wokół stacji bazowej	54° 0'10.0"N 16°44'33.0"E	2,6	0,007	<0,1	<0,1	2,0
150	GKP; poziom terenu wokół stacji bazowej	54° 0'10.0"N 16°44'33.5"E	2,6	0,007	<0,1	<0,1	2,0
151	GKP; poziom terenu wokół stacji bazowej	54° 0'9.5"N 16°44'34.5"E	2,4	0,006	<0,1	<0,1	2,0
152	GKP; poziom terenu wokół stacji bazowej	54° 0'9.5"N 16°44'35.5"E	2,4	0,006	<0,1	<0,1	2,0
153	GKP; poziom terenu wokół stacji bazowej	54° 0'9.0"N 16°44'36.5"E	2,4	0,006	<0,1	<0,1	2,0
154	GKP; poziom terenu wokół stacji bazowej	54° 0'9.0"N 16°44'37.5"E	2,6	0,007	<0,1	<0,1	2,0

¹⁾ Za wynik badania przyjmuje się wartość wyznaczoną jako iloczyn maksymalnego chwilowego wyniku pomiarów i poprawki pomiarowej, powiększoną o rozszerzoną niepewność pomiaru U dla współczynnika rozszerzenia k=2

Objaśnienia:

GKP – Główny Kierunek Pomiarowy

Tabela nr 2 c.d.

Nr pionu/ punktu	Lokalizacja pionu/ punktu pomiarowego	Współrzędne geograficzne	Wynik badania pola-E ¹⁾	Wartość obliczona pola-M	Wskaźnik poziomu emisji WM _E	Wskaźnik poziomu emisji WM _H	Wysokość pomiaru
			[V/m]	[A/m]			[m]
1	2	3	4	5	6	7	8
155	GKP; poziom terenu wokół stacji bazowej	54° 0'8.5"N 16°44'38.5"E	2,6	0,007	<0,1	<0,1	2,0
156	GKP; poziom terenu wokół stacji bazowej	54° 0'8.5"N 16°44'39.5"E	2,6	0,007	<0,1	<0,1	2,0
157	GKP; poziom terenu wokół stacji bazowej	54° 0'8.0"N 16°44'40.5"E	2,4	0,006	<0,1	<0,1	2,0
158	GKP; poziom terenu wokół stacji bazowej	54° 0'7.5"N 16°44'41.5"E	2,4	0,006	<0,1	<0,1	2,0
159	GKP; poziom terenu wokół stacji bazowej	54° 0'7.5"N 16°44'42.5"E	2,6	0,007	<0,1	<0,1	2,0
160	GKP; poziom terenu wokół stacji bazowej	54° 0'7.0"N 16°44'43.5"E	2,7	0,007	<0,1	<0,1	2,0
161	GKP; poziom terenu wokół stacji bazowej	54° 0'7.0"N 16°44'44.5"E	2,7	0,007	<0,1	<0,1	2,0
162	GKP; poziom terenu wokół stacji bazowej	54° 0'6.5"N 16°44'45.5"E	2,7	0,007	<0,1	<0,1	2,0
163	GKP; poziom terenu wokół stacji bazowej	54° 0'6.5"N 16°44'46.5"E	2,7	0,007	<0,1	<0,1	2,0
164	GKP; poziom terenu wokół stacji bazowej	54° 0'6.0"N 16°44'47.5"E	2,6	0,007	<0,1	<0,1	2,0
165	GKP; poziom terenu wokół stacji bazowej	54° 0'6.0"N 16°44'48.5"E	2,4	0,006	<0,1	<0,1	2,0
166	GKP; poziom terenu wokół stacji bazowej	54° 0'5.5"N 16°44'49.5"E	2,3	0,006	<0,1	<0,1	2,0
167	GKP; poziom terenu wokół stacji bazowej	54° 0'5.0"N 16°44'50.0"E	<1,0	<0,003	<0,1	<0,1	0,3 - 2
168	GKP; poziom terenu wokół stacji bazowej	54° 0'5.0"N 16°44'51.5"E	<1,0	<0,003	<0,1	<0,1	0,3 - 2
169	GKP; poziom terenu wokół stacji bazowej	54° 0'4.5"N 16°44'52.0"E	<1,0	<0,003	<0,1	<0,1	0,3 - 2
170	GKP; poziom terenu wokół stacji bazowej	54° 0'11.0"N 16°44'27.0"E	3,0	0,008	0,1	0,1	2,0
171	GKP; poziom terenu wokół stacji bazowej	54° 0'10.5"N 16°44'28.0"E	3,0	0,008	0,1	0,1	2,0
172	GKP; poziom terenu wokół stacji bazowej	54° 0'7.5"N 16°44'36.5"E	2,6	0,007	<0,1	<0,1	2,0
173	GKP; poziom terenu wokół stacji bazowej	54° 0'7.5"N 16°44'38.0"E	2,6	0,007	<0,1	<0,1	2,0
174	GKP; poziom terenu wokół stacji bazowej	54° 0'5.0"N 16°44'45.5"E	2,3	0,006	<0,1	<0,1	2,0
175	GKP; poziom terenu wokół stacji bazowej	54° 0'4.5"N 16°44'47.5"E	<1,0	<0,003	<0,1	<0,1	0,3 - 2
176	GKP; poziom terenu wokół stacji bazowej -1m od ogrodzenia	54° 0'12.5"N 16°44'20.0"E	3,0	0,008	0,1	0,1	2,0
177	GKP; poziom terenu wokół stacji bazowej	54° 0'12.0"N 16°44'20.5"E	3,0	0,008	0,1	0,1	2,0
178	GKP; poziom terenu wokół stacji bazowej	54° 0'11.5"N 16°44'21.0"E	2,7	0,007	<0,1	<0,1	2,0

¹⁾ Za wynik badania przyjmuje się wartość wyznaczoną jako iloczyn maksymalnego chwilowego wyniku pomiarów i poprawki pomiarowej, powiększoną o rozszerzoną niepewność pomiaru U dla współczynnika rozszerzenia k=2

Objaśnienia:

GKP – Główny Kierunek Pomiarowy

<1,0 – poniżej zakresu pomiarowego sondy EF-6092, EF-0392 tj. 1,0 V/m

Tabela nr 2 c.d.

Nr pionu/ punktu	Lokalizacja pionu/ punktu pomiarowego	Współrzędne geograficzne	Wynik badania pola-E ¹⁾	Wartość obliczona pola-M	Wskaźnik poziomu emisji WM _E	Wskaźnik poziomu emisji WM _H	Wysokość pomiaru
			[V/m]	[A/m]			[m]
1	2	3	4	5	6	7	8
179	GKP; poziom terenu wokół stacji bazowej	54° 0'11.0"N 16°44'22.0"E	2,7	0,007	<0,1	<0,1	2,0
180	GKP; poziom terenu wokół stacji bazowej	54° 0'10.5"N 16°44'22.5"E	2,7	0,007	<0,1	<0,1	2,0
181	GKP; poziom terenu wokół stacji bazowej	54° 0'10.0"N 16°44'23.0"E	2,7	0,007	<0,1	<0,1	2,0
182	GKP; poziom terenu wokół stacji bazowej	54° 0'10.0"N 16°44'24.0"E	2,7	0,007	<0,1	<0,1	2,0
183	GKP; poziom terenu wokół stacji bazowej	54° 0'9.0"N 16°44'24.5"E	2,6	0,007	<0,1	<0,1	2,0
184	GKP; poziom terenu wokół stacji bazowej	54° 0'8.5"N 16°44'25.0"E	2,6	0,007	<0,1	<0,1	2,0
185	GKP; poziom terenu wokół stacji bazowej	54° 0'8.5"N 16°44'26.0"E	2,6	0,007	<0,1	<0,1	2,0
186	GKP; poziom terenu wokół stacji bazowej	54° 0'7.5"N 16°44'26.5"E	2,7	0,007	<0,1	<0,1	2,0
187	GKP; poziom terenu wokół stacji bazowej	54° 0'7.0"N 16°44'27.5"E	2,7	0,007	<0,1	<0,1	2,0
188	GKP; poziom terenu wokół stacji bazowej	54° 0'6.5"N 16°44'28.0"E	2,7	0,007	<0,1	<0,1	2,0
189	GKP; poziom terenu wokół stacji bazowej	54° 0'6.0"N 16°44'28.5"E	2,6	0,007	<0,1	<0,1	2,0
190	GKP; poziom terenu wokół stacji bazowej	54° 0'5.5"N 16°44'29.0"E	2,6	0,007	<0,1	<0,1	2,0
191	GKP; poziom terenu wokół stacji bazowej	54° 0'5.0"N 16°44'30.0"E	2,6	0,007	<0,1	<0,1	2,0
192	GKP; poziom terenu wokół stacji bazowej	54° 0'4.5"N 16°44'30.5"E	2,6	0,007	<0,1	<0,1	2,0
193	GKP; poziom terenu wokół stacji bazowej	54° 0'4.0"N 16°44'31.0"E	2,7	0,007	<0,1	<0,1	2,0
194	GKP; poziom terenu wokół stacji bazowej	54° 0'3.5"N 16°44'32.0"E	2,7	0,007	<0,1	<0,1	2,0
195	GKP; poziom terenu wokół stacji bazowej	54° 0'3.0"N 16°44'32.5"E	3,0	0,008	0,1	0,1	2,0
196	GKP; poziom terenu wokół stacji bazowej	54° 0'2.5"N 16°44'33.0"E	2,7	0,007	<0,1	<0,1	2,0
197	GKP; poziom terenu wokół stacji bazowej	54° 0'2.0"N 16°44'34.0"E	2,6	0,007	<0,1	<0,1	2,0
198	GKP; poziom terenu wokół stacji bazowej	54° 0'1.5"N 16°44'34.5"E	2,4	0,006	<0,1	<0,1	2,0
199	GKP; poziom terenu wokół stacji bazowej	54° 0'1.0"N 16°44'35.0"E	2,4	0,006	<0,1	<0,1	2,0
200	GKP; poziom terenu wokół stacji bazowej – 525m od obiektu, na azymucie 142°	54° 0'0.5"N 16°44'36.0"E	2,3	0,006	<0,1	<0,1	2,0
201	GKP; poziom terenu wokół stacji bazowej – 545m od obiektu, na azymucie 142°	54° 0'0.0"N 16°44'36.5"E	<1,0	<0,003	<0,1	<0,1	0,3 - 2
202	GKP; poziom terenu wokół stacji bazowej – 565m od obiektu, na azymucie 142°	53°59'59.5"N 16°44'37.0"E	<1,0	<0,003	<0,1	<0,1	0,3 - 2

¹⁾ Za wynik badania przyjmuje się wartość wyznaczoną jako iloczyn maksymalnego chwilowego wyniku pomiarów i poprawki pomiarowej, powiększoną o rozszerzoną niepewność pomiaru U dla współczynnika rozszerzenia k=2

Objaśnienia:

GKP – Główny Kierunek Pomiarowy

<1,0 – poniżej zakresu pomiarowego sondy EF-6092, EF-0392 tj. 1,0 V/m

Tabela nr 2 c.d.

Nr pionu/ punktu	Lokalizacja pionu/ punktu pomiarowego	Współrzędne geograficzne	Wynik badania pola-E ¹⁾	Wartość obliczona pola-M	Wskaźnik poziomu emisji WM _E	Wskaźnik poziomu emisji WM _H	Wysokość pomiaru
			[V/m]	[A/m]			[m]
1	2	3	4	5	6	7	8
203	GKP; poziom terenu wokół stacji bazowej – 585m od obiektu, na azymucie 142°	53°59'59.0"N 16°44'38.0"E	<1,0	<0,003	<0,1	<0,1	0,3 - 2
204	GKP; poziom terenu wokół stacji bazowej – 605m od obiektu, na azymucie 142°	53°59'58.5"N 16°44'38.5"E	<1,0	<0,003	<0,1	<0,1	0,3 - 2
205	GKP; poziom terenu wokół stacji bazowej – 625m od obiektu, na azymucie 142°	53°59'58.5"N 16°44'39.0"E	<1,0	<0,003	<0,1	<0,1	0,3 - 2
206	GKP; poziom terenu wokół stacji bazowej – 645m od obiektu, na azymucie 142°	53°59'58.0"N 16°44'39.5"E	<1,0	<0,003	<0,1	<0,1	0,3 - 2
207	GKP; poziom terenu wokół stacji bazowej – 665m od obiektu, na azymucie 142°	53°59'57.5"N 16°44'40.0"E	<1,0	<0,003	<0,1	<0,1	0,3 - 2
208	GKP; poziom terenu wokół stacji bazowej – 675m od obiektu, na azymucie 142°	53°59'56.5"N 16°44'41.0"E	<1,0	<0,003	<0,1	<0,1	0,3 - 2
209	GKP; poziom terenu wokół stacji bazowej	54°0'12.0"N 16°44'19.0"E	3,0	0,008	0,1	0,1	2,0
210	GKP; poziom terenu wokół stacji bazowej	54°0'11.0"N 16°44'19.0"E	3,0	0,008	0,1	0,1	2,0
211	GKP; poziom terenu wokół stacji bazowej	54°0'10.5"N 16°44'19.5"E	3,0	0,008	0,1	0,1	2,0
212	GKP; poziom terenu wokół stacji bazowej	54°0'10.0"N 16°44'19.5"E	3,2	0,008	0,1	0,1	2,0
213	GKP; poziom terenu wokół stacji bazowej	54°0'9.5"N 16°44'19.5"E	3,0	0,008	0,1	0,1	2,0
214	GKP; poziom terenu wokół stacji bazowej	54°0'8.5"N 16°44'20.0"E	3,0	0,008	0,1	0,1	2,0
215	GKP; poziom terenu wokół stacji bazowej	54°0'8.0"N 16°44'20.0"E	2,7	0,007	<0,1	<0,1	2,0
216	GKP; poziom terenu wokół stacji bazowej	54°0'7.5"N 16°44'20.5"E	2,6	0,007	<0,1	<0,1	2,0
217	GKP; poziom terenu wokół stacji bazowej	54°0'7.0"N 16°44'20.5"E	2,6	0,007	<0,1	<0,1	2,0
218	GKP; poziom terenu wokół stacji bazowej	54°0'6.5"N 16°44'20.5"E	2,6	0,007	<0,1	<0,1	2,0
219	GKP; poziom terenu wokół stacji bazowej	54°0'6.0"N 16°44'20.5"E	2,6	0,007	<0,1	<0,1	2,0
220	GKP; poziom terenu wokół stacji bazowej	54°0'5.5"N 16°44'21.0"E	2,6	0,007	<0,1	<0,1	2,0
221	GKP; poziom terenu wokół stacji bazowej	54°0'4.5"N 16°44'21.0"E	2,4	0,006	<0,1	<0,1	2,0
222	GKP; poziom terenu wokół stacji bazowej	54°0'4.0"N 16°44'21.0"E	2,4	0,006	<0,1	<0,1	2,0
223	GKP; poziom terenu wokół stacji bazowej	54°0'3.5"N 16°44'21.5"E	2,4	0,006	<0,1	<0,1	2,0
224	GKP; poziom terenu wokół stacji bazowej	54°0'2.5"N 16°44'21.5"E	2,4	0,006	<0,1	<0,1	2,0
225	GKP; poziom terenu wokół stacji bazowej	54°0'2.0"N 16°44'21.5"E	2,3	0,006	<0,1	<0,1	2,0

¹⁾ Za wynik badania przyjmuje się wartość wyznaczoną jako iloczyn maksymalnego chwilowego wyniku pomiarów i poprawki pomiarowej, powiększoną o rozszerzoną niepewność pomiaru U dla współczynnika rozszerzenia k=2

Objaśnienia:

GKP – Główny Kierunek Pomiarowy

<1,0 – poniżej zakresu pomiarowego sondy EF-6092, EF-0392 tj. 1,0 V/m

Tabela nr 2 c.d.

Nr pionu/ punktu	Lokalizacja pionu/ punktu pomiarowego	Współrzędne geograficzne	Wynik badania pola-E ¹⁾	Wartość obliczona pola-M	Wskaźnik poziomu emisji WM _E	Wskaźnik poziomu emisji WM _H	Wysokość pomiaru
			[V/m]	[A/m]			[m]
1	2	3	4	5	6	7	8
226	GKP; poziom terenu wokół stacji bazowej	54° 0'1.5"N 16°44'22.0"E	2,3	0,006	<0,1	<0,1	2,0
227	GKP; poziom terenu wokół stacji bazowej	54° 0'1.0"N 16°44'22.0"E	2,3	0,006	<0,1	<0,1	2,0
228	GKP; poziom terenu wokół stacji bazowej – 435m od obiektu, na azymucie 170°	54° 0'0.5"N 16°44'22.5"E	<1,0	<0,003	<0,1	<0,1	0,3 - 2
229	GKP; poziom terenu wokół stacji bazowej – 455m od obiektu, na azymucie 170°	53°59'59.5"N 16°44'22.5"E	<1,0	<0,003	<0,1	<0,1	0,3 - 2
230	GKP; poziom terenu wokół stacji bazowej – 475m od obiektu, na azymucie 170°	53°59'59.0"N 16°44'22.5"E	<1,0	<0,003	<0,1	<0,1	0,3 - 2
231	GKP; poziom terenu wokół stacji bazowej – 495m od obiektu, na azymucie 170°	53°59'58.5"N 16°44'22.5"E	<1,0	<0,003	<0,1	<0,1	0,3 - 2
232	GKP; poziom terenu wokół stacji bazowej – 515m od obiektu, na azymucie 170°	53°59'57.5"N 16°44'23.0"E	<1,0	<0,003	<0,1	<0,1	0,3 - 2
233	GKP; poziom terenu wokół stacji bazowej – 535m od obiektu, na azymucie 170°	53°59'57.0"N 16°44'23.0"E	<1,0	<0,003	<0,1	<0,1	0,3 - 2
234	GKP; poziom terenu wokół stacji bazowej – 555m od obiektu, na azymucie 170°	53°59'56.0"N 16°44'23.5"E	<1,0	<0,003	<0,1	<0,1	0,3 - 2
235	GKP; poziom terenu wokół stacji bazowej – 575m od obiektu, na azymucie 170°	53°59'55.5"N 16°44'23.5"E	<1,0	<0,003	<0,1	<0,1	0,3 - 2
236	GKP; poziom terenu wokół stacji bazowej – 595m od obiektu, na azymucie 170°	53°59'55.0"N 16°44'24.0"E	<1,0	<0,003	<0,1	<0,1	0,3 - 2
237	GKP; poziom terenu wokół stacji bazowej – 615m od obiektu, na azymucie 170°	53°59'54.5"N 16°44'24.0"E	<1,0	<0,003	<0,1	<0,1	0,3 - 2
238	GKP; poziom terenu wokół stacji bazowej – 635m od obiektu, na azymucie 170°	53°59'53.5"N 16°44'24.0"E	<1,0	<0,003	<0,1	<0,1	0,3 - 2
239	GKP; poziom terenu wokół stacji bazowej – 655m od obiektu, na azymucie 170°	53°59'53.0"N 16°44'24.5"E	<1,0	<0,003	<0,1	<0,1	0,3 - 2
240	GKP; poziom terenu wokół stacji bazowej – 675m od obiektu, na azymucie 170°	53°59'52.5"N 16°44'24.5"E	<1,0	<0,003	<0,1	<0,1	0,3 - 2
241	GKP; poziom terenu wokół stacji bazowej – 1m od ogrodzenia	54° 0'12.5"N 16°44'16.5"E	2,3	0,006	<0,1	<0,1	2,0
242	GKP; poziom terenu wokół stacji bazowej	54° 0'12.0"N 16°44'16.0"E	2,3	0,006	<0,1	<0,1	2,0

¹⁾ Za wynik badania przyjmuje się wartość wyznaczoną jako iloczyn maksymalnego chwilowego wyniku pomiarów i poprawki pomiarowej, powiększoną o rozszerzoną niepewność pomiaru U dla współczynnika rozszerzenia k=2

Objaśnienia:

GKP – Główny Kierunek Pomiarowy

<1,0 – poniżej zakresu pomiarowego sondy EF-6092, EF-0392 tj. 1,0 V/m

Tabela nr 2 c.d.

Nr pionu/ punktu	Lokalizacja pionu/ punktu pomiarowego	Współrzędne geograficzne	Wynik badania pola-E ¹⁾	Wartość obliczona pola-M	Wskaźnik poziomu emisji WM _E	Wskaźnik poziomu emisji WM _H	Wysokość pomiaru
			[V/m]	[A/m]			[m]
1	2	3	4	5	6	7	8
243	GKP; poziom terenu wokół stacji bazowej	54° 0'11.5"N 16°44'15.5"E	2,3	0,006	<0,1	<0,1	2,0
244	GKP; poziom terenu wokół stacji bazowej	54° 0'11.0"N 16°44'15.0"E	2,4	0,006	<0,1	<0,1	2,0
245	GKP; poziom terenu wokół stacji bazowej	54° 0'10.5"N 16°44'14.5"E	2,7	0,007	<0,1	<0,1	2,0
246	GKP; poziom terenu wokół stacji bazowej	54° 0'10.0"N 16°44'13.5"E	2,7	0,007	<0,1	<0,1	2,0
247	GKP; poziom terenu wokół stacji bazowej	54° 0'9.5"N 16°44'13.0"E	3,0	0,008	0,1	0,1	2,0
248	GKP; poziom terenu wokół stacji bazowej	54° 0'9.0"N 16°44'12.5"E	3,0	0,008	0,1	0,1	2,0
249	GKP; poziom terenu wokół stacji bazowej	54° 0'8.5"N 16°44'11.5"E	3,0	0,008	0,1	0,1	2,0
250	GKP; poziom terenu wokół stacji bazowej	54° 0'8.0"N 16°44'11.0"E	2,7	0,007	<0,1	<0,1	2,0
251	GKP; poziom terenu wokół stacji bazowej	54° 0'7.5"N 16°44'10.5"E	2,7	0,007	<0,1	<0,1	2,0
252	GKP; poziom terenu wokół stacji bazowej	54° 0'7.0"N 16°44'10.0"E	2,6	0,007	<0,1	<0,1	2,0
253	GKP; poziom terenu wokół stacji bazowej	54° 0'6.5"N 16°44'9.0"E	2,6	0,007	<0,1	<0,1	2,0
254	GKP; poziom terenu wokół stacji bazowej	54° 0'6.0"N 16°44'8.5"E	2,6	0,007	<0,1	<0,1	2,0
255	GKP; poziom terenu wokół stacji bazowej	54° 0'5.5"N 16°44'8.0"E	2,6	0,007	<0,1	<0,1	2,0
256	GKP; poziom terenu wokół stacji bazowej	54° 0'5.0"N 16°44'7.5"E	2,4	0,006	<0,1	<0,1	2,0
257	GKP; poziom terenu wokół stacji bazowej	54° 0'4.5"N 16°44'6.5"E	2,3	0,006	<0,1	<0,1	2,0
258	GKP; poziom terenu wokół stacji bazowej	54° 0'4.0"N 16°44'6.0"E	2,3	0,006	<0,1	<0,1	2,0
259	GKP; poziom terenu wokół stacji bazowej	54° 0'3.5"N 16°44'5.5"E	<1,0	<0,003	<0,1	<0,1	0,3 - 2
260	GKP; poziom terenu wokół stacji bazowej	54° 0'3.0"N 16°44'4.5"E	<1,0	<0,003	<0,1	<0,1	0,3 - 2
261	GKP; poziom terenu wokół stacji bazowej	54° 0'2.5"N 16°44'4.0"E	<1,0	<0,003	<0,1	<0,1	0,3 - 2
262	GKP; poziom terenu wokół stacji bazowej	54° 0'2.0"N 16°44'3.5"E	<1,0	<0,003	<0,1	<0,1	0,3 - 2
263	GKP; poziom terenu wokół stacji bazowej	54° 0'1.5"N 16°44'3.0"E	<1,0	<0,003	<0,1	<0,1	0,3 - 2
264	GKP; poziom terenu wokół stacji bazowej – 505m od obiektu, na azymucie 215°	54° 0'1.0"N 16°44'2.0"E	<1,0	<0,003	<0,1	<0,1	0,3 - 2
265	GKP; poziom terenu wokół stacji bazowej – 525m od obiektu, na azymucie 215°	54° 0'0.0"N 16°44'1.5"E	<1,0	<0,003	<0,1	<0,1	0,3 - 2
266	GKP; poziom terenu wokół stacji bazowej – 545m od obiektu, na azymucie 215°	53°59'59.5"N 16°44'0.5"E	<1,0	<0,003	<0,1	<0,1	0,3 - 2

¹⁾ Za wynik badania przyjmuje się wartość wyznaczoną jako iloczyn maksymalnego chwilowego wyniku pomiarów i poprawki pomiarowej, powiększoną o rozszerzoną niepewność pomiaru U dla współczynnika rozszerzenia k=2

Objaśnienia:

GKP – Główny Kierunek Pomiarowy

<1,0 – poniżej zakresu pomiarowego sondy EF-6092, EF-0392 tj. 1,0 V/m

Tabela nr 2 c.d.

Nr pionu/ punktu	Lokalizacja pionu/ punktu pomiarowego	Współrzędne geograficzne	Wynik badania pola-E ¹⁾	Wartość obliczona pola-M	Wskaźnik poziomu emisji WM _E	Wskaźnik poziomu emisji WM _H	Wysokość pomiaru
			[V/m]	[A/m]			[m]
1	2	3	4	5	6	7	8
267	GKP; poziom terenu wokół stacji bazowej – 565m od obiektu, na azymucie 215°	53°59'59.0"N 16°43'60.0"E	<1,0	<0,003	<0,1	<0,1	0,3 - 2
268	GKP; poziom terenu wokół stacji bazowej – 585m od obiektu, na azymucie 215°	53°59'58.5"N 16°43'59.0"E	<1,0	<0,003	<0,1	<0,1	0,3 - 2
269	GKP; poziom terenu wokół stacji bazowej – 605m od obiektu, na azymucie 215°	53°59'58.0"N 16°43'58.5"E	<1,0	<0,003	<0,1	<0,1	0,3 - 2
270	GKP; poziom terenu wokół stacji bazowej – 625m od obiektu, na azymucie 215°	53°59'57.0"N 16°43'58.0"E	<1,0	<0,003	<0,1	<0,1	0,3 - 2
271	GKP; poziom terenu wokół stacji bazowej – 645m od obiektu, na azymucie 215°	53°59'56.5"N 16°43'57.0"E	<1,0	<0,003	<0,1	<0,1	0,3 - 2
272	GKP; poziom terenu wokół stacji bazowej – 665m od obiektu, na azymucie 215°	53°59'56.5"N 16°43'57.0"E	<1,0	<0,003	<0,1	<0,1	0,3 - 2
273	GKP; poziom terenu wokół stacji bazowej – 675m od obiektu, na azymucie 215°	53°59'56.0"N 16°43'56.5"E	<1,0	<0,003	<0,1	<0,1	0,3 - 2
274	GKP; poziom terenu wokół stacji bazowej – 1m od ogrodzenia	54°0'13.0"N 16°44'16.0"E	2,3	0,006	<0,1	<0,1	2,0
275	GKP; poziom terenu wokół stacji bazowej	54°0'13.0"N 16°44'15.0"E	2,3	0,006	<0,1	<0,1	2,0
276	GKP; poziom terenu wokół stacji bazowej	54°0'12.5"N 16°44'14.0"E	2,4	0,006	<0,1	<0,1	2,0
277	GKP; poziom terenu wokół stacji bazowej	54°0'12.0"N 16°44'13.0"E	2,3	0,006	<0,1	<0,1	2,0
278	GKP; poziom terenu wokół stacji bazowej	54°0'11.0"N 16°44'10.0"E	2,3	0,006	<0,1	<0,1	2,0
279	GKP; poziom terenu wokół stacji bazowej	54°0'11.0"N 16°44'9.0"E	2,4	0,006	<0,1	<0,1	2,0
280	GKP; poziom terenu wokół stacji bazowej	54°0'10.5"N 16°44'8.0"E	2,4	0,006	<0,1	<0,1	2,0
281	GKP; poziom terenu wokół stacji bazowej	54°0'10.0"N 16°44'7.0"E	2,4	0,006	<0,1	<0,1	2,0
282	GKP; poziom terenu wokół stacji bazowej	54°0'10.0"N 16°44'6.0"E	2,4	0,006	<0,1	<0,1	2,0
283	GKP; poziom terenu wokół stacji bazowej	54°0'9.5"N 16°44'5.0"E	2,3	0,006	<0,1	<0,1	2,0
284	GKP; poziom terenu wokół stacji bazowej	54°0'9.0"N 16°44'4.0"E	2,3	0,006	<0,1	<0,1	2,0
285	GKP; poziom terenu wokół stacji bazowej	54°0'9.0"N 16°44'3.0"E	<1,0	<0,003	<0,1	<0,1	0,3 - 2
286	GKP; poziom terenu wokół stacji bazowej	54°0'8.5"N 16°44'2.0"E	<1,0	<0,003	<0,1	<0,1	0,3 - 2
287	GKP; poziom terenu wokół stacji bazowej	54°0'8.0"N 16°44'1.5"E	<1,0	<0,003	<0,1	<0,1	0,3 - 2
288	GKP; poziom terenu wokół stacji bazowej	54°0'8.0"N 16°44'0.0"E	<1,0	<0,003	<0,1	<0,1	0,3 - 2

¹⁾ Za wynik badania przyjmuje się wartość wyznaczoną jako iloczyn maksymalnego chwilowego wyniku pomiarów i poprawki pomiarowej, powiększoną o rozszerzoną niepewność pomiaru U dla współczynnika rozszerzenia k=2

Objaśnienia:

GKP – Główny Kierunek Pomiarowy

<1,0 – poniżej zakresu pomiarowego sondy EF-6092, EF-0392 tj. 1,0 V/m

Tabela nr 2 c.d.

Nr pionu/ punktu	Lokalizacja pionu/ punktu pomiarowego	Współrzędne geograficzne	Wynik badania pola-E ¹⁾	Wartość obliczona pola-M	Wskaźnik poziomu emisji WM _E	Wskaźnik poziomu emisji WM _H	Wysokość pomiaru
			[V/m]	[A/m]			[m]
1	2	3	4	5	6	7	8
289	GKP; poziom terenu wokół stacji bazowej	54° 0'7.5"N 16°43'59.5"E	<1,0	<0,003	<0,1	<0,1	0,3 - 2
290	GKP; poziom terenu wokół stacji bazowej	54° 0'7.5"N 16°43'58.5"E	<1,0	<0,003	<0,1	<0,1	0,3 - 2
291	GKP; poziom terenu wokół stacji bazowej	54° 0'7.0"N 16°43'57.5"E	<1,0	<0,003	<0,1	<0,1	0,3 - 2
292	GKP; poziom terenu wokół stacji bazowej	54° 0'6.5"N 16°43'56.5"E	<1,0	<0,003	<0,1	<0,1	0,3 - 2
293	GKP; poziom terenu wokół stacji bazowej	54° 0'6.5"N 16°43'55.5"E	<1,0	<0,003	<0,1	<0,1	0,3 - 2
294	GKP; poziom terenu wokół stacji bazowej	54° 0'6.0"N 16°43'54.5"E	<1,0	<0,003	<0,1	<0,1	0,3 - 2
295	GKP; poziom terenu wokół stacji bazowej	54° 0'5.5"N 16°43'53.5"E	<1,0	<0,003	<0,1	<0,1	0,3 - 2
296	GKP; poziom terenu wokół stacji bazowej	54° 0'5.5"N 16°43'52.5"E	<1,0	<0,003	<0,1	<0,1	0,3 - 2
297	GKP; poziom terenu wokół stacji bazowej	54° 0'5.0"N 16°43'52.0"E	<1,0	<0,003	<0,1	<0,1	0,3 - 2
298	GKP; poziom terenu wokół stacji bazowej	54° 0'4.5"N 16°43'51.0"E	<1,0	<0,003	<0,1	<0,1	0,3 - 2
299	GKP; poziom terenu wokół stacji bazowej	54° 0'4.5"N 16°43'50.0"E	<1,0	<0,003	<0,1	<0,1	0,3 - 2
300	GKP; poziom terenu wokół stacji bazowej	54° 0'4.0"N 16°43'49.0"E	<1,0	<0,003	<0,1	<0,1	0,3 - 2
301	GKP; poziom terenu wokół stacji bazowej	54° 0'3.5"N 16°43'48.0"E	<1,0	<0,003	<0,1	<0,1	0,3 - 2
302	GKP; poziom terenu wokół stacji bazowej	54° 0'3.5"N 16°43'47.0"E	<1,0	<0,003	<0,1	<0,1	0,3 - 2
303	GKP; poziom terenu wokół stacji bazowej	54° 0'3.0"N 16°43'46.0"E	<1,0	<0,003	<0,1	<0,1	0,3 - 2
304	GKP; poziom terenu wokół stacji bazowej	54° 0'12.5"N 16°44'13.5"E	2,3	0,006	<0,1	<0,1	2,0
305	GKP; poziom terenu wokół stacji bazowej	54° 0'13.5"N 16°44'14.5"E	2,3	0,006	<0,1	<0,1	2,0
306	GKP; poziom terenu wokół stacji bazowej – 1m od ogrodzenia	54° 0'13.0"N 16°44'15.5"E	2,3	0,006	<0,1	<0,1	2,0
307	GKP; poziom terenu wokół stacji bazowej	54° 0'13.5"N 16°44'14.5"E	2,3	0,006	<0,1	<0,1	2,0
308	GKP; poziom terenu wokół stacji bazowej	54° 0'13.5"N 16°44'13.5"E	2,3	0,006	<0,1	<0,1	2,0
309	GKP; poziom terenu wokół stacji bazowej	54° 0'13.0"N 16°44'7.0"E	<1,0	<0,003	<0,1	<0,1	0,3 - 2
310	GKP; poziom terenu wokół stacji bazowej	54° 0'13.0"N 16°44'6.0"E	<1,0	<0,003	<0,1	<0,1	0,3 - 2
311	GKP; poziom terenu wokół stacji bazowej	54° 0'13.0"N 16°44'5.0"E	2,3	0,006	<0,1	<0,1	2,0
312	GKP; poziom terenu wokół stacji bazowej	54° 0'12.5"N 16°44'3.5"E	2,4	0,006	<0,1	<0,1	2,0
313	GKP; poziom terenu wokół stacji bazowej	54° 0'12.5"N 16°44'2.5"E	2,4	0,006	<0,1	<0,1	2,0
314	GKP; poziom terenu wokół stacji bazowej	54° 0'12.5"N 16°44'1.5"E	2,4	0,006	<0,1	<0,1	2,0

¹⁾ Za wynik badania przyjmuje się wartość wyznaczoną jako iloczyn maksymalnego chwilowego wyniku pomiarów i poprawki pomiarowej, powiększoną o rozszerzoną niepewność pomiaru U dla współczynnika rozszerzenia k=2

Objaśnienia:

GKP – Główny Kierunek Pomiarowy

<1,0 – poniżej zakresu pomiarowego sondy EF-6092, EF-0392 tj. 1,0 V/m

Tabela nr 2 c.d.

Nr pionu/ punktu	Lokalizacja pionu/ punktu pomiarowego	Współrzędne geograficzne	Wynik badania pola-E ¹⁾	Wartość obliczona pola-M	Wskaźnik poziomu emisji WM _E	Wskaźnik poziomu emisji WM _H	Wysokość pomiaru
			[V/m]	[A/m]			[m]
1	2	3	4	5	6	7	8
315	GKP; poziom terenu wokół stacji bazowej	54° 0'12.5"N 16°44'0.5"E	2,4	0,006	<0,1	<0,1	2,0
316	GKP; poziom terenu wokół stacji bazowej	54° 0'12.5"N 16°43'59.5"E	2,3	0,006	<0,1	<0,1	2,0
317	GKP; poziom terenu wokół stacji bazowej	54° 0'12.5"N 16°43'58.5"E	2,3	0,006	<0,1	<0,1	2,0
318	GKP; poziom terenu wokół stacji bazowej	54° 0'12.0"N 16°43'57.0"E	<1,0	<0,003	<0,1	<0,1	0,3 - 2
319	GKP; poziom terenu wokół stacji bazowej	54° 0'12.0"N 16°43'56.0"E	<1,0	<0,003	<0,1	<0,1	0,3 - 2
320	GKP; poziom terenu wokół stacji bazowej	54° 0'12.0"N 16°43'55.0"E	<1,0	<0,003	<0,1	<0,1	0,3 - 2
321	GKP; poziom terenu wokół stacji bazowej	54° 0'12.0"N 16°43'54.0"E	<1,0	<0,003	<0,1	<0,1	0,3 - 2
322	GKP; poziom terenu wokół stacji bazowej	54° 0'12.0"N 16°43'53.0"E	<1,0	<0,003	<0,1	<0,1	0,3 - 2
323	GKP; poziom terenu wokół stacji bazowej	54° 0'11.5"N 16°43'52.0"E	<1,0	<0,003	<0,1	<0,1	0,3 - 2
324	GKP; poziom terenu wokół stacji bazowej	54° 0'11.5"N 16°43'50.5"E	<1,0	<0,003	<0,1	<0,1	0,3 - 2
325	GKP; poziom terenu wokół stacji bazowej	54° 0'11.5"N 16°43'49.5"E	<1,0	<0,003	<0,1	<0,1	0,3 - 2
326	GKP; poziom terenu wokół stacji bazowej	54° 0'11.5"N 16°43'48.5"E	<1,0	<0,003	<0,1	<0,1	0,3 - 2
327	GKP; poziom terenu wokół stacji bazowej	54° 0'11.5"N 16°43'47.5"E	<1,0	<0,003	<0,1	<0,1	0,3 - 2
328	GKP; poziom terenu wokół stacji bazowej	54° 0'11.5"N 16°43'46.5"E	<1,0	<0,003	<0,1	<0,1	0,3 - 2
329	GKP; poziom terenu wokół stacji bazowej	54° 0'11.0"N 16°43'45.5"E	<1,0	<0,003	<0,1	<0,1	0,3 - 2
330	GKP; poziom terenu wokół stacji bazowej	54° 0'11.0"N 16°43'44.0"E	<1,0	<0,003	<0,1	<0,1	0,3 - 2
331	GKP; poziom terenu wokół stacji bazowej	54° 0'11.0"N 16°43'43.0"E	<1,0	<0,003	<0,1	<0,1	0,3 - 2
332	GKP; poziom terenu wokół stacji bazowej	54° 0'11.0"N 16°43'42.0"E	<1,0	<0,003	<0,1	<0,1	0,3 - 2
333	GKP; poziom terenu wokół stacji bazowej	54° 0'11.0"N 16°43'41.5"E	<1,0	<0,003	<0,1	<0,1	0,3 - 2
334	GKP; poziom terenu wokół stacji bazowej	54° 0'13.5"N 16°44'7.0"E	2,7	0,007	<0,1	<0,1	2,0
335	GKP; poziom terenu wokół stacji bazowej	54° 0'13.0"N 16°43'58.0"E	2,3	0,006	<0,1	<0,1	2,0
336	GKP; poziom terenu wokół stacji bazowej	54° 0'12.5"N 16°43'48.0"E	<1,0	<0,003	<0,1	<0,1	0,3 - 2
337	GKP; poziom terenu wokół stacji bazowej	54° 0'14.0"N 16°44'7.0"E	2,7	0,007	<0,1	<0,1	2,0
338	GKP; poziom terenu wokół stacji bazowej	54° 0'14.0"N 16°44'6.0"E	2,6	0,007	<0,1	<0,1	2,0
339	GKP; poziom terenu wokół stacji bazowej	54° 0'14.0"N 16°44'4.5"E	2,6	0,007	<0,1	<0,1	2,0
340	GKP; poziom terenu wokół stacji bazowej	54° 0'14.0"N 16°44'3.5"E	2,3	0,006	<0,1	<0,1	2,0

¹⁾ Za wynik badania przyjmuje się wartość wyznaczoną jako iloczyn maksymalnego chwilowego wyniku pomiarów i poprawki pomiarowej, powiększoną o rozszerzoną niepewność pomiaru U dla współczynnika rozszerzenia k=2

Objaśnienia:

GKP – Główny Kierunek Pomiarowy

<1,0 – poniżej zakresu pomiarowego sondy EF-6092, EF-0392 tj. 1,0 V/m

Tabela nr 2 c.d.

Nr pionu/ punktu	Lokalizacja pionu/ punktu pomiarowego	Współrzędne geograficzne	Wynik badania pola-E ¹⁾	Wartość obliczona pola-M	Wskaźnik poziomu emisji WM _E	Wskaźnik poziomu emisji WM _H	Wysokość pomiaru
			[V/m]	[A/m]			[m]
1	2	3	4	5	6	7	8
341	GKP; poziom terenu wokół stacji bazowej	54° 0'14.0"N 16°44'2.5"E	2,3	0,006	<0,1	<0,1	2,0
342	GKP; poziom terenu wokół stacji bazowej	54° 0'14.0"N 16°44'1.5"E	2,3	0,006	<0,1	<0,1	2,0
343	GKP; poziom terenu wokół stacji bazowej	54° 0'14.0"N 16°44'0.0"E	2,4	0,006	<0,1	<0,1	2,0
344	GKP; poziom terenu wokół stacji bazowej	54° 0'14.0"N 16°43'59.5"E	2,4	0,006	<0,1	<0,1	2,0
345	GKP; poziom terenu wokół stacji bazowej	54° 0'14.0"N 16°43'58.0"E	2,4	0,006	<0,1	<0,1	2,0
346	GKP; poziom terenu wokół stacji bazowej	54° 0'14.0"N 16°43'57.0"E	2,3	0,006	<0,1	<0,1	2,0
347	GKP; poziom terenu wokół stacji bazowej	54° 0'14.0"N 16°43'56.0"E	2,3	0,006	<0,1	<0,1	2,0
348	GKP; poziom terenu wokół stacji bazowej	54° 0'14.0"N 16°43'55.0"E	<1,0	<0,003	<0,1	<0,1	0,3 - 2
349	GKP; poziom terenu wokół stacji bazowej	54° 0'14.0"N 16°43'53.5"E	<1,0	<0,003	<0,1	<0,1	0,3 - 2
350	GKP; poziom terenu wokół stacji bazowej	54° 0'14.0"N 16°43'52.5"E	<1,0	<0,003	<0,1	<0,1	0,3 - 2
351	GKP; poziom terenu wokół stacji bazowej	54° 0'14.0"N 16°43'51.5"E	<1,0	<0,003	<0,1	<0,1	0,3 - 2
352	GKP; poziom terenu wokół stacji bazowej	54° 0'14.0"N 16°43'50.5"E	<1,0	<0,003	<0,1	<0,1	0,3 - 2
353	GKP; poziom terenu wokół stacji bazowej	54° 0'14.0"N 16°43'49.5"E	<1,0	<0,003	<0,1	<0,1	0,3 - 2
354	GKP; poziom terenu wokół stacji bazowej	54° 0'14.0"N 16°43'48.5"E	<1,0	<0,003	<0,1	<0,1	0,3 - 2
355	GKP; poziom terenu wokół stacji bazowej	54° 0'14.0"N 16°43'47.0"E	<1,0	<0,003	<0,1	<0,1	0,3 - 2
356	GKP; poziom terenu wokół stacji bazowej	54° 0'14.0"N 16°43'46.0"E	<1,0	<0,003	<0,1	<0,1	0,3 - 2
357	GKP; poziom terenu wokół stacji bazowej	54° 0'14.0"N 16°43'45.0"E	<1,0	<0,003	<0,1	<0,1	0,3 - 2
358	GKP; poziom terenu wokół stacji bazowej	54° 0'14.0"N 16°43'44.0"E	2,3	0,006	<0,1	<0,1	2,0
359	GKP; poziom terenu wokół stacji bazowej	54° 0'14.0"N 16°43'43.0"E	2,6	0,007	<0,1	<0,1	2,0
360	GKP; poziom terenu wokół stacji bazowej	54° 0'14.0"N 16°43'41.5"E	2,6	0,007	<0,1	<0,1	2,0
361	GKP; poziom terenu wokół stacji bazowej	54° 0'14.0"N 16°43'41.0"E	2,3	0,006	<0,1	<0,1	2,0
362	GKP; poziom terenu wokół stacji bazowej	54° 0'14.5"N 16°44'14.5"E	2,3	0,006	<0,1	<0,1	2,0
363	GKP; poziom terenu wokół stacji bazowej	54° 0'15.0"N 16°44'13.0"E	2,3	0,006	<0,1	<0,1	2,0
364	GKP; poziom terenu wokół stacji bazowej	54° 0'16.0"N 16°44'7.0"E	2,3	0,006	<0,1	<0,1	2,0
365	GKP; poziom terenu wokół stacji bazowej	54° 0'18.5"N 16°43'56.0"E	2,6	0,007	<0,1	<0,1	2,0
366	GKP; poziom terenu wokół stacji bazowej	54° 0'21.0"N 16°43'44.5"E	<1,0	<0,003	<0,1	<0,1	0,3 - 2

¹⁾ Za wynik badania przyjmuje się wartość wyznaczoną jako iloczyn maksymalnego chwilowego wyniku pomiarów i poprawki pomiarowej, powiększoną o rozszerzoną niepewność pomiaru U dla współczynnika rozszerzenia k=2

Objaśnienia:

GKP – Główny Kierunek Pomiarowy

<1,0 – poniżej zakresu pomiarowego sondy EF-6092, EF-0392 tj. 1,0 V/m

Tabela nr 2 c.d.

Nr pionu/ punktu	Lokalizacja pionu/ punktu pomiarowego	Współrzędne geograficzne	Wynik badania pola-E ¹⁾	Wartość obliczona pola-M	Wskaźnik poziomu emisji WM _E	Wskaźnik poziomu emisji WM _H	Wysokość pomiaru
			[V/m]	[A/m]			[m]
1	2	3	4	5	6	7	8
367	GKP; poziom terenu wokół stacji bazowej – 1m od ogrodzenia	54° 0'15.0"N 16°44'15.0"E	<1,0	<0,003	<0,1	<0,1	0,3 - 2
368	GKP; poziom terenu wokół stacji bazowej	54° 0'15.0"N 16°44'14.0"E	<1,0	<0,003	<0,1	<0,1	0,3 - 2
369	GKP; poziom terenu wokół stacji bazowej	54° 0'15.5"N 16°44'13.0"E	<1,0	<0,003	<0,1	<0,1	0,3 - 2
370	GKP; poziom terenu wokół stacji bazowej	54° 0'16.0"N 16°44'12.0"E	<1,0	<0,003	<0,1	<0,1	0,3 - 2
371	GKP; poziom terenu wokół stacji bazowej	54° 0'16.0"N 16°44'11.0"E	<1,0	<0,003	<0,1	<0,1	0,3 - 2
372	GKP; poziom terenu wokół stacji bazowej	54° 0'16.5"N 16°44'10.0"E	<1,0	<0,003	<0,1	<0,1	0,3 - 2
373	GKP; poziom terenu wokół stacji bazowej	54° 0'17.0"N 16°44'9.0"E	3,0	0,008	0,1	0,1	2,0
374	GKP; poziom terenu wokół stacji bazowej	54° 0'17.0"N 16°44'8.5"E	2,7	0,007	<0,1	<0,1	2,0
375	GKP; poziom terenu wokół stacji bazowej	54° 0'17.5"N 16°44'7.5"E	2,7	0,007	<0,1	<0,1	2,0
376	GKP; poziom terenu wokół stacji bazowej	54° 0'18.0"N 16°44'6.5"E	2,6	0,007	<0,1	<0,1	2,0
377	GKP; poziom terenu wokół stacji bazowej	54° 0'18.0"N 16°44'5.5"E	2,6	0,007	<0,1	<0,1	2,0
378	GKP; poziom terenu wokół stacji bazowej	54° 0'18.5"N 16°44'4.5"E	2,6	0,007	<0,1	<0,1	2,0
379	GKP; poziom terenu wokół stacji bazowej	54° 0'19.0"N 16°44'3.5"E	2,4	0,006	<0,1	<0,1	2,0
380	GKP; poziom terenu wokół stacji bazowej	54° 0'19.0"N 16°44'2.5"E	2,4	0,006	<0,1	<0,1	2,0
381	GKP; poziom terenu wokół stacji bazowej	54° 0'19.5"N 16°44'1.5"E	2,3	0,006	<0,1	<0,1	2,0
382	GKP; poziom terenu wokół stacji bazowej	54° 0'19.5"N 16°44'0.5"E	2,3	0,006	<0,1	<0,1	2,0
383	GKP; poziom terenu wokół stacji bazowej	54° 0'20.0"N 16°43'59.5"E	2,3	0,006	<0,1	<0,1	2,0
384	GKP; poziom terenu wokół stacji bazowej	54° 0'20.5"N 16°43'58.5"E	<1,0	<0,003	<0,1	<0,1	0,3 - 2
385	GKP; poziom terenu wokół stacji bazowej	54° 0'20.5"N 16°43'58.0"E	<1,0	<0,003	<0,1	<0,1	0,3 - 2
386	GKP; poziom terenu wokół stacji bazowej	54° 0'21.0"N 16°43'57.0"E	<1,0	<0,003	<0,1	<0,1	0,3 - 2
387	GKP; poziom terenu wokół stacji bazowej	54° 0'21.5"N 16°43'56.0"E	<1,0	<0,003	<0,1	<0,1	0,3 - 2
388	GKP; poziom terenu wokół stacji bazowej	54° 0'21.5"N 16°43'55.0"E	<1,0	<0,003	<0,1	<0,1	0,3 - 2
389	GKP; poziom terenu wokół stacji bazowej	54° 0'22.0"N 16°43'54.0"E	<1,0	<0,003	<0,1	<0,1	0,3 - 2
390	GKP; poziom terenu wokół stacji bazowej	54° 0'22.5"N 16°43'53.0"E	<1,0	<0,003	<0,1	<0,1	0,3 - 2
391	GKP; poziom terenu wokół stacji bazowej	54° 0'22.5"N 16°43'52.0"E	<1,0	<0,003	<0,1	<0,1	0,3 - 2
392	GKP; poziom terenu wokół stacji bazowej	54° 0'23.0"N 16°43'51.5"E	<1,0	<0,003	<0,1	<0,1	0,3 - 2

¹⁾ Za wynik badania przyjmuje się wartość wyznaczoną jako iloczyn maksymalnego chwilowego wyniku pomiarów i poprawki pomiarowej, powiększoną o rozszerzoną niepewność pomiaru U dla współczynnika rozszerzenia k=2

Objaśnienia:

GKP – Główny Kierunek Pomiarowy
<1,0 – poniżej zakresu pomiarowego sondy EF-6092, EF-0392 tj. 1,0 V/m

Tabela nr 2 c.d.

Nr pionu/ punktu	Lokalizacja pionu/ punktu pomiarowego	Współrzędne geograficzne	Wynik badania pola-E ⁾	Wartość obliczona pola-M	Wskaźnik poziomu emisji WM _E	Wskaźnik poziomu emisji WM _H	Wysokość pomiaru
			[V/m]	[A/m]			[m]
1	2	3	4	5	6	7	8
393	GKP; poziom terenu wokół stacji bazowej	54° 0'23.5"N 16°43'50.5"E	<1,0	<0,003	<0,1	<0,1	0,3 - 2
394	GKP; poziom terenu wokół stacji bazowej	54° 0'23.5"N 16°43'49.5"E	<1,0	<0,003	<0,1	<0,1	0,3 - 2
395	GKP; poziom terenu wokół stacji bazowej	54° 0'24.0"N 16°43'48.5"E	<1,0	<0,003	<0,1	<0,1	0,3 - 2
396	GKP; poziom terenu wokół stacji bazowej	54° 0'24.5"N 16°43'47.5"E	<1,0	<0,003	<0,1	<0,1	0,3 - 2
397	GKP; poziom terenu wokół stacji bazowej	54° 0'24.5"N 16°43'46.5"E	<1,0	<0,003	<0,1	<0,1	0,3 - 2
398	GKP; poziom terenu wokół stacji bazowej	54° 0'25.0"N 16°43'46.0"E	<1,0	<0,003	<0,1	<0,1	0,3 - 2
399	PKP; poziom terenu wokół stacji bazowej – 1 m od ogrodzenia	54° 0'16.5"N 16°44'15.0"E	3,0	0,008	0,1	0,1	2,0
400	PKP; poziom terenu wokół stacji bazowej	54° 0'17.0"N 16°44'15.0"E	2,7	0,007	<0,1	<0,1	2,0
401	PKP; poziom terenu wokół stacji bazowej	54° 0'17.5"N 16°44'14.0"E	2,7	0,007	<0,1	<0,1	2,0
402	PKP; poziom terenu wokół stacji bazowej	54° 0'18.0"N 16°44'13.5"E	2,6	0,007	<0,1	<0,1	2,0
403	PKP; poziom terenu wokół stacji bazowej	54° 0'19.0"N 16°44'13.0"E	2,6	0,007	<0,1	<0,1	2,0
404	PKP; poziom terenu wokół stacji bazowej	54° 0'19.5"N 16°44'12.5"E	2,6	0,007	<0,1	<0,1	2,0
405	PKP; poziom terenu wokół stacji bazowej	54° 0'20.0"N 16°44'12.0"E	2,4	0,006	<0,1	<0,1	2,0
406	PKP; poziom terenu wokół stacji bazowej	54° 0'20.5"N 16°44'11.5"E	2,4	0,006	<0,1	<0,1	2,0
407	PKP; poziom terenu wokół stacji bazowej	54° 0'21.0"N 16°44'11.0"E	2,3	0,006	<0,1	<0,1	2,0
408	PKP; poziom terenu wokół stacji bazowej	54° 0'21.5"N 16°44'10.5"E	2,3	0,006	<0,1	<0,1	2,0
409	PKP; poziom terenu wokół stacji bazowej	54° 0'22.0"N 16°44'10.0"E	2,3	0,006	<0,1	<0,1	2,0
410	PKP; poziom terenu wokół stacji bazowej	54° 0'22.5"N 16°44'9.5"E	<1,0	<0,003	<0,1	<0,1	0,3 - 2
411	PKP; poziom terenu wokół stacji bazowej	54° 0'23.0"N 16°44'9.0"E	<1,0	<0,003	<0,1	<0,1	0,3 - 2
412	PKP; poziom terenu wokół stacji bazowej	54° 0'23.5"N 16°44'8.5"E	<1,0	<0,003	<0,1	<0,1	0,3 - 2
413	PKP; poziom terenu wokół stacji bazowej	54° 0'24.5"N 16°44'8.0"E	<1,0	<0,003	<0,1	<0,1	0,3 - 2
414	PKP; poziom terenu wokół stacji bazowej	54° 0'25.0"N 16°44'7.0"E	<1,0	<0,003	<0,1	<0,1	0,3 - 2
415	PKP; poziom terenu wokół stacji bazowej	54° 0'25.5"N 16°44'6.5"E	<1,0	<0,003	<0,1	<0,1	0,3 - 2
416	PKP; poziom terenu wokół stacji bazowej	54° 0'26.0"N 16°44'6.0"E	<1,0	<0,003	<0,1	<0,1	0,3 - 2
417	PKP; poziom terenu wokół stacji bazowej	54° 0'26.5"N 16°44'5.5"E	<1,0	<0,003	<0,1	<0,1	0,3 - 2

⁾ Za wynik badania przyjmuje się wartość wyznaczoną jako iloczyn maksymalnego chwilowego wyniku pomiarów i poprawki pomiarowej, powiększoną o rozszerzoną niepewność pomiaru U dla współczynnika rozszerzenia k=2

Objaśnienia:

GKP – Główny Kierunek Pomiarowy

PKP – Pomocniczy Kierunek Pomiarowy

<1,0 – poniżej zakresu pomiarowego sondy EF-6092, EF-0392 tj. 1,0 V/m

Tabela nr 2 c.d.

Nr pionu/ punktu	Lokalizacja pionu/ punktu pomiarowego	Współrzędne geograficzne	Wynik badania pola-E ¹⁾	Wartość obliczona pola-M	Wskaźnik poziomu emisji WM _E	Wskaźnik poziomu emisji WM _H	Wysokość pomiaru
			[V/m]	[A/m]			[m]
1	2	3	4	5	6	7	8
418	PKP; poziom terenu wokół stacji bazowej	54° 0'27.0"N 16°44'5.0"E	<1,0	<0,003	<0,1	<0,1	0,3 - 2
419	PKP; poziom terenu wokół stacji bazowej – 475m od obiektu, na azymucie 330°	54° 0'28.0"N 16°44'4.5"E	<1,0	<0,003	<0,1	<0,1	0,3 - 2
420	PKP; poziom terenu wokół stacji bazowej – 495m od obiektu, na azymucie 330°	54° 0'28.5"N 16°44'4.0"E	<1,0	<0,003	<0,1	<0,1	0,3 - 2
421	PKP; poziom terenu wokół stacji bazowej – 515m od obiektu, na azymucie 330°	54° 0'29.0"N 16°44'3.0"E	<1,0	<0,003	<0,1	<0,1	0,3 - 2
422	PKP; poziom terenu wokół stacji bazowej – 535m od obiektu, na azymucie 330°	54° 0'29.5"N 16°44'2.5"E	<1,0	<0,003	<0,1	<0,1	0,3 - 2
423	PKP; poziom terenu wokół stacji bazowej – 555m od obiektu, na azymucie 330°	54° 0'30.5"N 16°44'2.0"E	<1,0	<0,003	<0,1	<0,1	0,3 - 2
424	PKP; poziom terenu wokół stacji bazowej – 575m od obiektu, na azymucie 330°	54° 0'31.0"N 16°44'1.5"E	<1,0	<0,003	<0,1	<0,1	0,3 - 2
425	PKP; poziom terenu wokół stacji bazowej – 595m od obiektu, na azymucie 330°	54° 0'31.5"N 16°44'1.0"E	<1,0	<0,003	<0,1	<0,1	0,3 - 2
426	PKP; poziom terenu wokół stacji bazowej – 615m od obiektu, na azymucie 330°	54° 0'32.0"N 16°44'0.5"E	<1,0	<0,003	<0,1	<0,1	0,3 - 2
427	PKP; poziom terenu wokół stacji bazowej – 635m od obiektu, na azymucie 330°	54° 0'32.0"N 16°44'0.0"E	<1,0	<0,003	<0,1	<0,1	0,3 - 2
428	PKP; poziom terenu wokół stacji bazowej – 655m od obiektu, na azymucie 330°	54° 0'32.5"N 16°43'60.0"E	<1,0	<0,003	<0,1	<0,1	0,3 - 2
429	PKP; poziom terenu wokół stacji bazowej – 675m od obiektu, na azymucie 330°	54° 0'33.0"N 16°43'59.5"E	<1,0	<0,003	<0,1	<0,1	0,3 - 2
430	GKP; poziom terenu wokół stacji bazowej	54° 0'17.0"N 16°44'16.5"E	3,2	0,008	0,1	0,1	2,0
431	GKP; poziom terenu wokół stacji bazowej	54° 0'11.5"N 16°44'18.0"E	2,3	0,006	<0,1	<0,1	2,0
432	GKP; poziom terenu wokół stacji bazowej	54° 0'10.5"N 16°44'17.5"E	2,3	0,006	<0,1	<0,1	2,0
433	GKP; poziom terenu wokół stacji bazowej	54° 0'16.5"N 16°44'14.5"E	2,7	0,007	<0,1	<0,1	2,0

¹⁾ Za wynik badania przyjmuje się wartość wyznaczoną jako iloczyn maksymalnego chwilowego wyniku pomiarów i poprawki pomiarowej, powiększoną o rozszerzoną niepewność pomiaru U dla współczynnika rozszerzenia k=2

Objaśnienia:

GKP – Główny Kierunek Pomiarowy

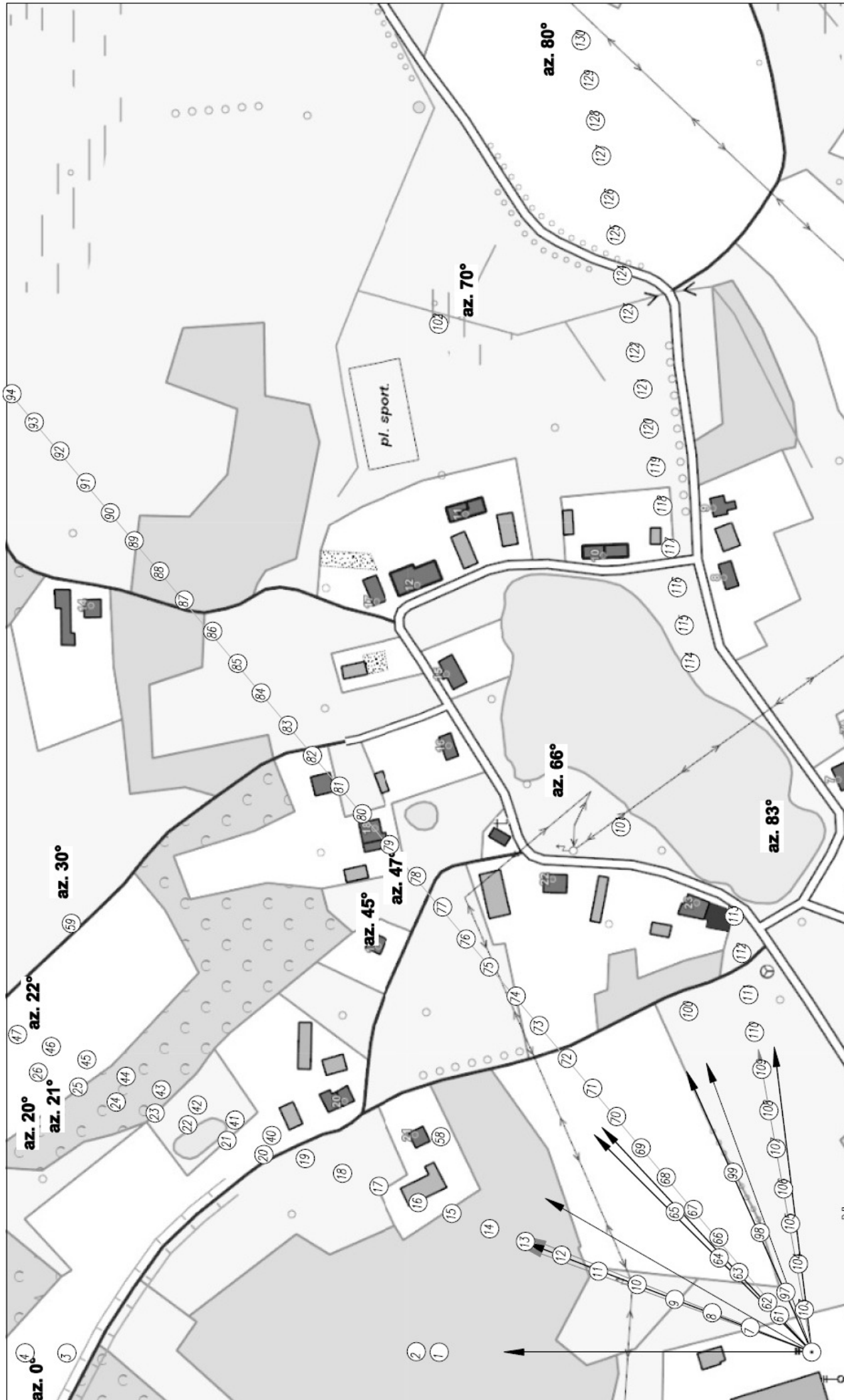
PKP – Pomocniczy Kierunek Pomiarowy

<1,0 – poniżej zakresu pomiarowego sondy EF-6092, EF-0392 tj. 1,0 V/m

Wyniki badań odnoszą się wyłącznie do zainstalowanych i skonfigurowanych obiektów – źródeł pól, jak w dniu pomiaru.

Z przekazanych przez zleceniodawcę informacji wynika, iż podczas pomiarów urządzenia użytkownika pracowały przy aktualnie występującym obciążeniu oraz podczas badania anteny użytkownika o sterowanych wiązkach zostały ustawione w sposób umożliwiający spełnienie wymagań pkt. 13 ppkt. 2 RMK.

W związku z wejściem w życie Ustawy z dnia 16 kwietnia 2020 r. o szczególnych instrumentach wsparcia w związku z rozprzestrzenieniem się wirusa SARS-CoV-2 (Dz. U. 2020, poz. 695 z późn. zm.) zgodnie z art. 31 nie przeprowadza się pomiarów w lokalach mieszkalnych oraz w lokalach użytkowych zlokalizowanych na terytorium objętym stanem nadzwyczajnym, stanem zagrożenia epidemicznego lub stanem epidemii.



Skala 1:2500	
Obiekt: RTCN KOSZALIN GOŁOGÓRA Nazwa rysunku: Rozmieszczenie pionów pomiarowych Nr sprawozdania: 316/2020/OS/01	
Opracował: Laboratorium Badawcze Soldi	Nr rysunku 01
LABORATORIUM BADAWCZE SOLDI ul. Bieżanowska 22, 30-812 Kraków	

LEGENDA:
 (N) - Punkty (piony) pomiarowe
 (•) - Lokalizacja źródła pola-EM

UWAGA: Nie wszystkie punkty /
 piony pomiarowe zostały
 wskazane na powyższej mapie

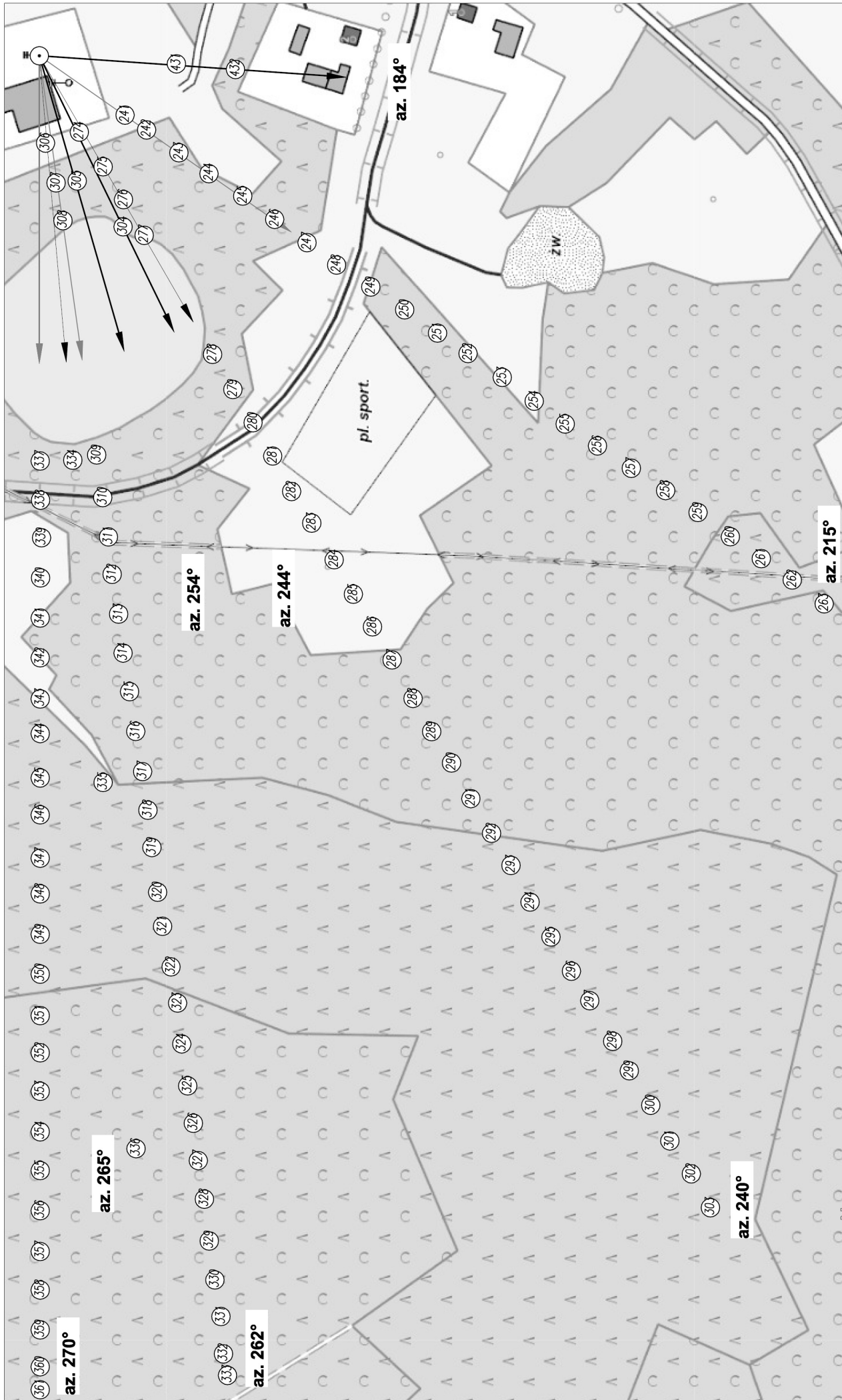




Skala 1: 2500	
Obiekt: RTCN KOSZALIN KOŁOCÓRA Nazwa rysunku: Rozmieszczenie pionów pomiarowych Nr sprawozdania: 316/2020/05/01	Opracował: Laboratorium Badawcze Soldi
LABORATORIUM BADAWCZE SOLDI ul. Bieżanowska 22, 30-812 Kraków	Nr rysunku 02

LEGENDA:
 (M) – Punkty (piony) pomiarowe
 (•) – Lokalizacja źródła pola-EM

UWAGA: Nie wszystkie punkty / piony pomiarowe zostały wskazane na powyższej mapie

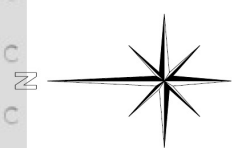


<p>Skala 1:2500</p>	<p>Nr rysunku 03</p>
<p>Opracował: Laboratorium Badawcze Soldi</p>	<p>Nr rysunku 03</p>
<p>Obiekt: RTCN KOSZALIN GOŁOGÓRA Nazwa rysunku: Rozmieszczenie pionów pomiarowych Nr sprawozdania: 316/2020/05/01</p> <p>LABORATORIUM BADAWCZE SOLDI ul. Bieżanowska 22, 30-812 Kraków</p>	



LEGENDA:

- (N) – Punkty (piony) pomiarowe
- – Lokalizacja źródła pola-EM

UWAGA: Nie wszystkie punkty / piony pomiarowe zostały wskazane na powyższej mapie





<p>Skala 1:2500</p>	<p>Pracownik: Laboratorium Badawcze Soldi</p> <p>Nr rysunku 04</p>
<p>Obiekt: RTN KOSZALIN GOŁOGÓRA</p> <p>Nazwa rysunku: Rozmieszczenie pionów pomiarowych</p> <p>Nr sprawozdania: 316/2020/05/01</p>	<p>Opracował: Laboratorium Badawcze Soldi</p> <p>ul. Bieżanowska 22, 30-812 Kraków</p>
<p>LEGENDA:</p> <p>UWAGA: Nie wszystkie punkty / piony pomiarowe zostały wskazane na powyższej mapie</p> <p>  — Punkty (piony) pomiarowe  — Lokalizacja źródła pola-EM </p>	<p>Obiekt: LABORATORIUM BADAWCZE SOLDI</p> <p>ul. Bieżanowska 22, 30-812 Kraków</p>

7. Podsumowanie wyników pomiarów

Minimalne dopuszczalne poziomy elektromagnetycznego promieniowania niejonizującego charakteryzowane przez wartości graniczne wielkości fizycznych dla miejsc dostępnych dla ludności, uwzględniające wszystkie źródła promieniowania mogące występować w obszarze pomiarowym, w zakresie pomiarowym zestawu pomiarowego, opisanego w punkcie 2 niniejszego sprawozdania, zgodnie z *Rozporządzeniem Ministra Zdrowia z dnia 17 grudnia 2019 r. w sprawie dopuszczalnych poziomów pól elektromagnetycznych w środowisku* [Dz. U. 2019, poz. 2448], które zostały przyjęte do obliczeń wskaźników WM_E i WM_H wynoszą odpowiednio:

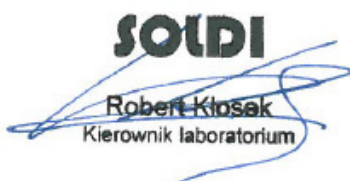
Zakres częstotliwości	Natężenie pola - E	Natężenie pola - H
10 MHz – 300 GHz	28 V/m	0,073 A/m

W wyniku zastosowania sposobu sprawdzenia dotrzymania dopuszczalnych poziomów pól elektromagnetycznych w środowisku, zgodnie z pkt 25 ppkt 1 *Rozporządzenia Ministra Klimatu z dnia 17 lutego 2020 r. w sprawie sposobów sprawdzania dotrzymania dopuszczalnych poziomów pól elektromagnetycznych w środowisku* [Dz. U. 2020, poz. 258], stwierdza się, że w obszarze pomiarowym rozpatrywanej instalacji radiokomunikacyjnej we wszystkich punktach / pionach pomiarowych żadna z wartości wskaźnikowych nie przekracza wartości 1, w związku z czym w punktach tych należy uznać za dotrzymane dopuszczalne poziomy pól elektromagnetycznych w środowisku.

8. Dokumentacja fotograficzna

Widok obiektu wraz z zainstalowanym zespołem antenowym



Pomiary wykonał:	Sprawozdanie sporządził:	Autoryzował/Zatwierdził:
Łukasz Atrachimowicz	Hanna Helczyk	 SOLDI Robert Klošek Kierownik laboratorium

KONIEC SPRAWOZDANIA